



Determinación de la erosión actual  
y potencial de los suelos de Chile

Región Metropolitana  
**Síntesis de Resultados**  
Diciembre 2010

SERVICIO AGRÍCOLA Y GANADERO  
INSTITUTO DE DESARROLLO AGROPECUARIO  
OFICINA DE ESTUDIOS Y POLÍTICAS AGRARIAS  
CORPORACIÓN NACIONAL FORESTAL

InnovaChile  
CORFO





# Determinación de la erosión actual y potencial de los suelos de Chile

## ■ Región Metropolitana

Síntesis de Resultados - Diciembre 2010

Determinación de la erosión actual y potencial de los suelos de Chile  
**Región Metropolitana**

**Síntesis de Resultados - Diciembre 2010**

Publicación N° 154

Registro de propiedad intelectual: 200587

**Autores:**

Juan Pablo Flores V.  
Eduardo Martínez H.  
Marión Espinosa T.  
Gabriel Henríquez A.  
Pablo Avendaño V.  
Patricio Torres F.  
Isaac Ahumada F.

**Cartografía:**

Luz María Marín A.  
Marcelo Retamal G.  
Balfredo Toledo H.

**Editado por:**

Juan Pablo Flores V.

**Diseño:**

Simón Rodríguez Tachi

**Centro de Información de Recursos Naturales**

Director Ejecutivo: Eugenio González Aguiló  
Manuel Montt 1164, Providencia.  
Fono (56-2) 200 89 00  
[www.ciren.cl](http://www.ciren.cl)  
Santiago de Chile - 2010

*Dedicado a Patricio Lara Greene.*



# ÍNDICE

Resumen	7
Introducción	8
Antecedentes del área de estudio	10
Metodología	12
<i>Modelo de erosión actual</i>	12
<i>Modelo de riesgo de erosión potencial y actual</i>	18
Línea base de información biogeofísica	20
Equipo de Trabajo	21
Resultados y estadísticas	22
Conclusiones	45
Referencias	46





## RESUMEN

---

Este estudio estima la erosión actual y potencial del territorio de Chile mediante la aplicación de dos modelos cualitativos, usando técnicas de geomática, teledetección y SIG. El estudio cubre un área estimada de 75 millones de hectáreas y tiene dos escala de trabajo dependiendo de la disponibilidad de información de cada región, nivel semidetallado 1:50.000 en sectores silvoagropecuarios entre la Región de Coquimbo y Los Lagos y escala generalizada 1:250.000 en las regiones extremas y Cordillera de los Andes. A nivel local, la superficie de estudio de la Región Metropolitana es de 1,54 millones de hectáreas.

Para esta Región existe una superficie actual de suelos erosionados (clasificados en categorías de erosión ligera, moderada, severa y muy severa) de 683 mil hectáreas, lo que representa el 44,3% de la superficie regional. Sin embargo, parte de esta superficie, en especial hacia la Cordillera de los Andes, ha sido afectada durante milenios por procesos de erosión de tipo geológica. Las comunas más afectadas son Alhué (70,1%), Colina (66,5%) y Lo Barnechea (66,3%). Alhué y Colina presentan la mayor cantidad de superficie de erosión “severa” y “muy severa” (250.000 mil hectáreas).

El riesgo de erosión actual está clasificado entre las categorías moderadas y severas, que representan el 32,5% de la superficie regional. El riesgo de erosión potencial que predomina es la categoría muy severa, y que está altamente influenciado por la agresividad climática y tipología de suelos y la topografía de la zona. Las comunas con mayor riesgo de erosión actual y potencial severo y muy severo son Lo Barnechea y Alhué.

La metodología planteada permite realizar una cualificación del paisaje de forma eficaz y a menores costos que metodologías tradicionales de campo.

*Palabras Claves: riesgo de erosión del suelo, índices espectrales, geomática, teledetección, erodabilidad del suelo, erosividad de la lluvia.*

## INTRODUCCIÓN

---

La erosión de los suelos en Chile, constituye en la actualidad uno de los problemas ambientales más significativos del sector silvoagropecuario (Araneda et al, 1999; Bonilla *et al.*, 2010), especialmente porque el recurso suelo resulta ser no renovable a escala humana (figura 1) y es altamente vulnerable a actuaciones antrópicas y condiciones de variabilidad climática y cambio climático global (Yoma, 2003). Sumado a ello, se deben considerar las importantes exigencias ambientales de los mercados internacionales en la producción de recursos naturales y los actuales desafíos del país en el campo del manejo sustentable, sujeto a la "Convención Internacional de lucha contra la desertificación" de las Naciones Unidas (Pizarro *et al.*, 2008).

---



**Figura 1.** Erosión de los suelos de Chile, Región Metropolitana.

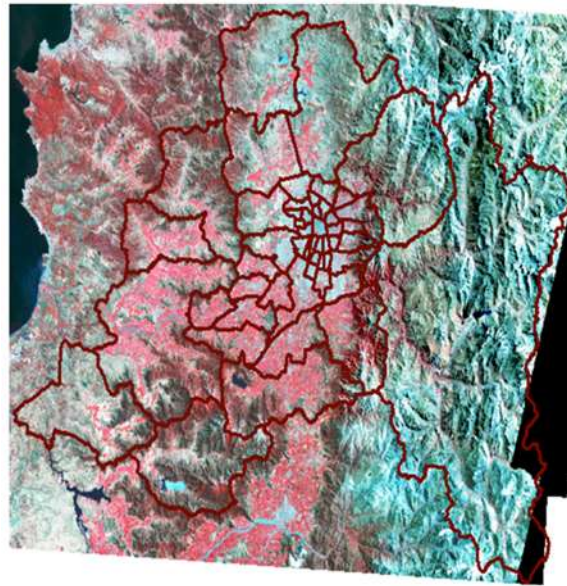
---

El abordaje de esta problemática demanda una cuantificación actual y potencial de la erosión en Chile, pero los estudios de degradación de recursos naturales, erosión y fragilidad existentes en el país son escasos o se presentan a escalas generalizadas, y los estudios de mayor detalle son muy localizados por el alto costo que ello implica.

Los primeros testimonios de la pérdida de suelo se remonta a los estudios del botánico francés Claudio Gay, los historiadores Benjamín Vicuña Mackenna y R.E Mc Lure y el científico alemán Federico Albert quienes manifestaron la enorme fragilidad de los suelos y el daño ambiental de las malas prácticas antrópicas en amplias zonas de Chile y qué consecuencias tendrían para las futuras generaciones. Diversos estudios contemporáneos de la situación de los suelos en Chile han sido desarrollados por diferentes instituciones públicas, privadas y universidades, a saber; Elgueta y Jirkal en 1943, Rodríguez en el año 1957, INFOR en 1964, IREN y Ministerio de Agricultura en el año 1966, Peña (1983, 1985), Honorato et al (2001), Pérez y González (2001), Soto (1997), Bonilla *et al.* (2010), Castro y Aliaga (2010), entre otros. Estos estudios revelan que existe una situación preocupante de superficie erosionada en Chile, especialmente en las zonas silvoagropecuarias del secano costero e interior, es decir, desde las regiones de Coquimbo a Los Lagos.



Sin embargo, el único estudio disponible con información espacial para todo el territorio nacional fue realizado en 1979, por el Instituto de Investigación de Recursos Naturales (IREN), donde se estableció la situación del recurso suelo y vegetación en lo que se refiere a la degradación progresiva, a fin de formular un prediagnóstico de la situación de la erosión de los suelos a nivel generalizado (escala 1: 500.000).



**Figura 2.** Estudio de la erosión con imagen Landsat 5 TM.

Durante las recientes décadas, los grandes avances en desarrollo de modelos empíricos, conceptuales y físicos (Merritt *et al.*, 2003; Saavedra, 2005) que utilizan, en la mayoría de ellos, datos obtenidos de sensores remotos, integrados en sistemas de información geográfica (SIG), permiten obtener nuevas herramientas de gestión de recursos naturales (Datta y Schack-Kirchner, 2010), beneficiando con ello a las ciencias del suelo, al cubrir amplias extensiones a menores costos (figura 2).

En este marco, el año 2004 y 2006, el Centro de Información de Recursos Naturales (CIREN), en conjunto con instituciones del Ministerio de Agricultura, a través de dos proyectos con financiamiento CORFO, elaboró mapas de erosión actual y potencial, en varias zonas de Chile central. Estos estudios ratifican la preocupante situación de los suelos agropecuarios, en cuanto a su degradación antrópica.

En el año 2007, las instituciones CIREN, CONAF, SAG, ODEPA e INDAP, todos pertenecientes al Ministerio de Agricultura de Chile, ejecutan el presente estudio, que tiene el objetivo de elaborar la cartografía de erosión potencial y actual de suelos a nivel semidetallado 1:50.000 y generalizado a escala 1:250.000 en todo el país, utilizando técnicas de geomática, teledetección y SIG.

El presente informe presenta las estadísticas y resultados finales para la Región Metropolitana, en el marco del proyecto "Determinación de la erosión actual y potencial del territorio de Chile, financiado por el INNOVA-CORFO.

## ANTECEDENTES DEL ÁREA DE ESTUDIO

La Región Metropolitana se ubica entre los 32°55' y 34°19' de latitud sur, y entre los 69°47' y 71°43' longitud oeste y posee una superficie de 1,54 millones de hectáreas. Esta región presenta un relieve (de oriente a poniente) compuesto por la Cordillera de los Andes, la Cuenca de Santiago y la Cordillera de la Costa. Las principales características climáticas que presenta la Región Metropolitana corresponden al tipo "mediterráneo", de estación seca larga y con un invierno lluvioso. La temperatura media anual es de 13,9°C, en tanto que el mes más cálido corresponde al mes de enero, alcanzando una temperatura de 22,1°C, y el mes más frío corresponde al mes de julio con 7,7°C (BCN, 2010).

Los suelos de la Región Metropolitana están caracterizados por los órdenes alfisoles de climas húmedos y subhúmedos con un porcentaje de saturación de bases mayor al 35% y horizonte argílico. Entisoles de minerales recientes con muy escaso desarrollo. Inceptisoles de desarrollo incipiente con horizontes de leve desarrollo (horizonte cámbico) y que contienen minerales fáciles de alterar. Mollisoles que se encuentran principalmente en el valle central de la R.M., con un epipedón móllico y un porcentaje de saturación de bases > 50%. Muchos de ellos son de alta productividad. Vertisoles de relieves planos y con un régimen hídrico de difícil manejo y presentes en la Provincia de Chacabuco, al norte de la comuna de Lampa. Y misceláneos de diferentes naturalezas. Es decir, sectores en los que no hay suelo o bien es incipiente (CIREN-CORFO, 1996).

El paisaje vegetacional de esta zona ha sido altamente alterado y se caracteriza por ser predominantemente de cordillera (matorral esclerófilo y estepa arbustiva). En los valles y cuencas se desarrolla la vegetación esclerófila.

El cambio de uso del suelo (cuadro 1) provocado preferentemente por la extensión urbana ha sido notable en las últimas décadas y se pone énfasis en el consumo de suelo agrícola debido a su importancia económica, y también a su mayor escasez en el contexto del territorio nacional (CONAF, 2003).

**Cuadro 1.** Superficie regional por tipo de uso del suelo (hectáreas y porcentaje), Región Metropolitana.

Usos del suelo	Superficie 1995		Superficie 2000	
	(ha)	%	(ha)	%
Áreas urbanas e industriales	65.597,5	4,23	83.844,8	5,41
Terrenos agrícolas	252.192,0	16,26	245.989,8	15,86
Praderas y matorrales	728.151,1	46,15	715.174,5	46,11
Bosques	110.910,8	7,15	112.023,9	7,22
Humedales	6.758,2	0,44	6.578,8	0,42
Áreas desprovistas de vegetación	374.646,9	24,14	374.022,8	24,12
Nieves y glaciares	8.636,4	0,56	8.636,4	0,56
Cuerpos de aguas	4.253,9	0,27	4.693,8	0,30
Áreas no reconocidas	0,0	0,0	0,0	0,0
<b>TOTAL</b>	<b>1.550.964,8</b>	<b>100,0</b>	<b>1.550.964,8</b>	<b>100,0</b>

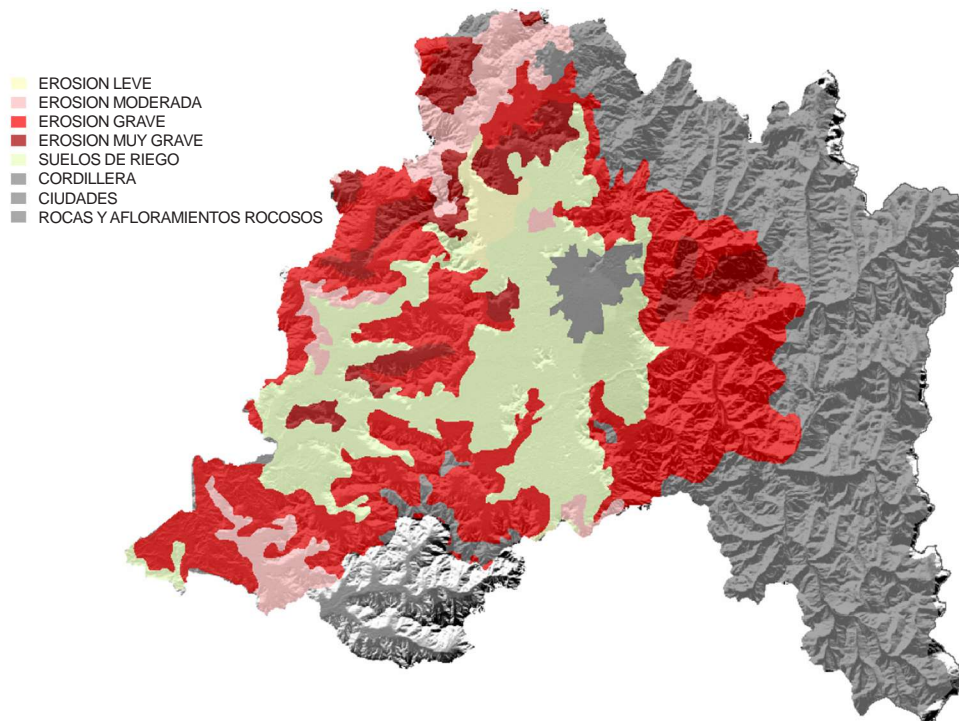


La desertificación ha avanzado notablemente en ambas vertientes de la Cordillera de la Costa, conocidas como secano costero y secano interior, donde este fenómeno está asociado directamente con los procesos erosivos de los suelos. El porcentaje de desertificación supera el 50% la condición grave y moderada. Así, los problemas más significativos de desertificación, se observan, particularmente para la costa y en la precordillera andina, donde los procesos de deforestación, cambio de uso de suelos, incendios y sobreexplotación de recursos, entre otros, se manifiestan con mayor claridad en el paisaje. El estudio de erosión de 1979 (cuadro 2 y figura 3) revela que existe una superficie de 0,56 millones de hectáreas con algún grado de erosión. Asimismo, indica que 408 mil hectáreas son consideradas de alta fragilidad, que corresponde a un 73% del área de estudio.

**Cuadro 2.** Superficie afectada por erosión en Chile en distintos grados (hectáreas), estudio “Fragilidad de los ecosistemas de Chile”, 1979.

REGIONES	Hectáreas	NIVEL DE EROSION				TOTAL
		0	1	2	3	
Región Metropolitana	(mill.)	0.1	0.39	0.06	0.02	0.56
	%	17	69.4	10.5	3.1	
TOTAL	(mill.)	2.38	9.13	15.57	7.41	34.49
	%	6.9	26.5	45.1	21.5	

Niveles de Erosión: 0 Muy Grave; 1 Grave; 2 Moderada; 3 Leve



**Figura 3.** Mapa de nivel de erosión para la Región Metropolitana, IREN-1979.  
 Comuna de Alhué, pertenecía a la Región de O`Higgins (INE, 1977)

## METODOLOGÍA

El área de estudio para la determinación de la erosión actual y potencial corresponde al territorio continental chileno, aproximadamente 75 millones de hectáreas. El estudio se desarrolló en dos fases: i) la determinación de la erosión actual, y ii) la estimación de la erosión potencial (fragilidad del suelo). La cartografía de erosión actual se entregó en el Datum Provisional Sudamericano de 1956 (PSAD56). Para la cartografía de riesgo de erosión potencial y actual, la información contenida en las bases de datos geográficas del modelo digital de elevación global, generado por el sensor aster de Japón (ASTERGDEM) y de cada cobertura usada (clima, suelo y vegetación) en el modelo de erosión fue rasterizada (30 x 30 m) y proyectada en coordenadas UTM y datum WGS 84 huso 19S.

### Modelo de erosión actual

En el primer caso la base metodológica consistió el análisis interpretativo visual de imágenes satelitales Landsat TM 5, datos de estudios agrológicos, curvas de nivel, e índices espectrales confrontadas con las observaciones tomadas en las campañas de terreno en todas las regiones de Chile. Tales capas de información se integraron mediante SIG, complementada con técnicas de Geomática (figura 4).

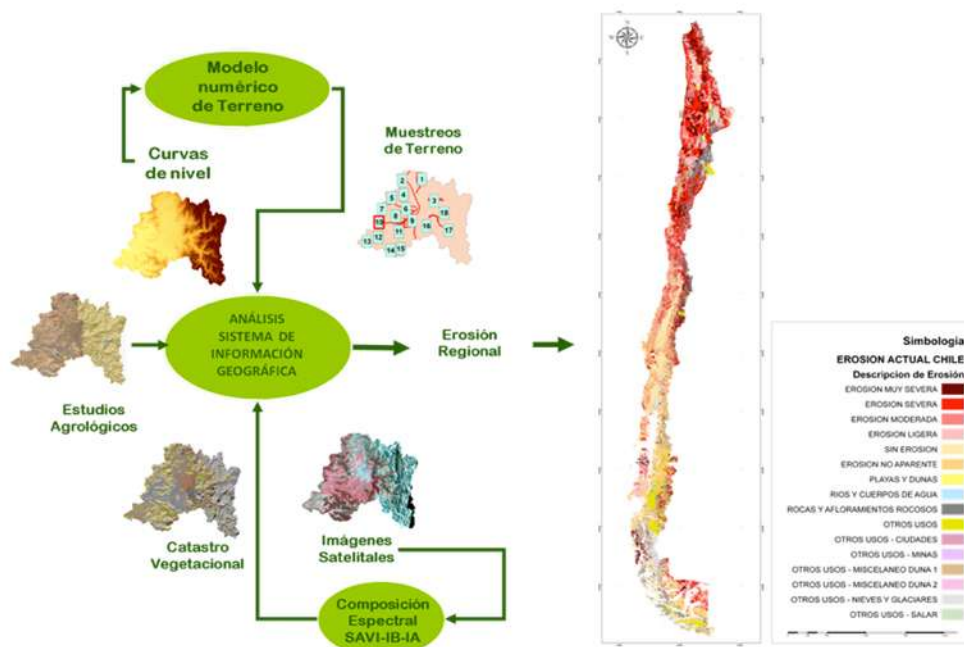


Figura 4. Diagrama metodológico del modelo de erosión actual.

Para la clasificación de erosión de suelos se unificaron criterios de acuerdo a los estudios agroecológicos y los boletines técnicos de CONAF y el SAG, estableciendo un criterio con seis categorías: nula o sin erosión, ligera, moderada, severa, muy severa y erosión no aparente.



La **erosión nula o sin erosión** se define como una superficie de suelo no presenta alteraciones o signos de pérdidas de suelo o se encuentra protegido de las fuerzas erosivas, como la lluvia, viento o gravedad, por algún tipo de cubierta vegetal, corresponde en términos generales a suelos planiformes o depositacionales (fotografía 1).



Fotografía 1. Clasificación de erosión de suelo, caso erosión nula o sin erosión.

La **erosión ligera** corresponde a un suelo ligeramente inclinado u ondulado o con cobertura de vegetación nativa semidensa (mayor a 50% y menor a 75), que se encuentra levemente alterado el espesor y carácter del horizonte. En la mayor parte de los casos el manejo de estos suelos no es diferente a los suelos no erosionados (fotografía 2).



Fotografía 2. Clasificación de erosión de suelo, caso erosión ligera.

La **erosión moderada** se define como un suelo que tiene clara presencia del subsuelo en al menos el 30% de la superficie de la unidad en estudio (Unidad cartográfica homogénea, UCH). Existe presencia de pedestales o pavimentos de erosión en al menos el 30% de la superficie. El suelo original se ha perdido entre 40 a 60%. Existe presencia ocasional de surcos o canalículos (fotografía 3).



Fotografía 3. Clasificación de erosión de suelo, caso erosión moderada.

La **erosión severa** corresponde a un suelo que presenta ocasionalmente surcos y cárcavas. La unidad presenta entre un 30 a 60% de la superficie con el subsuelo visible, con pedestales o pavimentos. La pérdida de suelo es del orden del 60 a 80%. Hay presencia de zanjas con un distanciamiento medio de 10 a 20 metros (fotografía 4).



Fotografía 4. Clasificación de erosión de suelo, caso erosión severa.

La **erosión muy severa** corresponde a unidades de suelo no apropiadas para cultivos por cuanto se ha destruido el suelo en más de un 60% de la superficie. El subsuelo se presenta a la vista y el material de origen en más de un 60% de la superficie. Existe una presencia de pedestales o pavimento en más del 60% de la superficie. Existe una pérdida del suelo superior al 80% del suelo original. Presencia de cárcavas con distanciamiento medio entre 5 a 10 metros (fotografía 5).

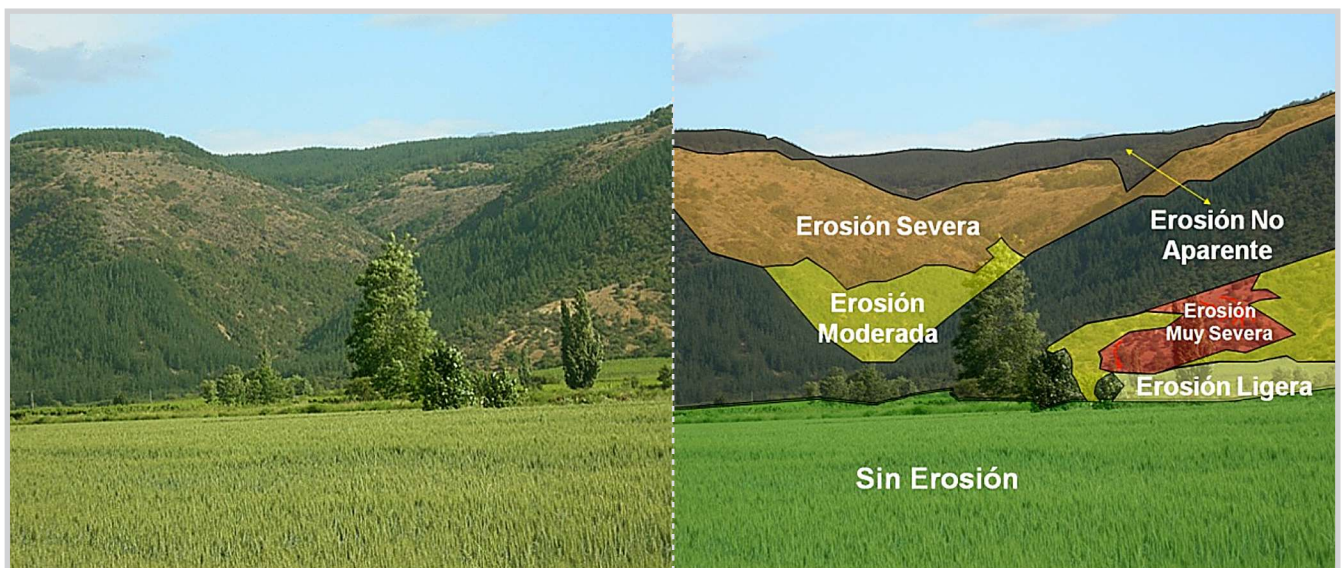


Fotografía 5. Clasificación de erosión de suelo, caso erosión muy severa.

La **erosión no aparente** corresponde a sectores que se encuentran protegido por algún tipo de cubierta vegetal de densidad mayor a 75% o su uso está sujeto a buenas prácticas de manejo (fotografía 6).



Fotografía 6. Clasificación de erosión de suelo, caso erosión no aparente.



Fotografía 7. Clasificación de erosión actual, sector Santa Laura, VII Región del Maule



Adicionalmente, se considera las siguientes categorías;

MD/1 o **Dunas interiores o continentales**, corresponde a terrenos arenosos, de topografía ondulada, que han sido estabilizados o mantienen una cubierta herbácea pobre. No tienen contacto con playas marítimas y están casi siempre ubicadas al interior del territorio. Frecuentemente presentan algún tipo de vegetación, aunque no puede hablarse de utilización agrícola o ganadera. En aquellos casos en que se observó algún uso agrícola o ganadero no se levantó como duna (fotografía 8).



Fotografía 8. Clasificación de erosión de suelo, caso dunas interiores o continentales.

MD/2 o **Dunas litorales**, corresponde a terrenos litorales, constituidos por arenas sueltas de tipo andesítico-basáltico, sin vegetación y de topografía ondulada (fotografía 9).



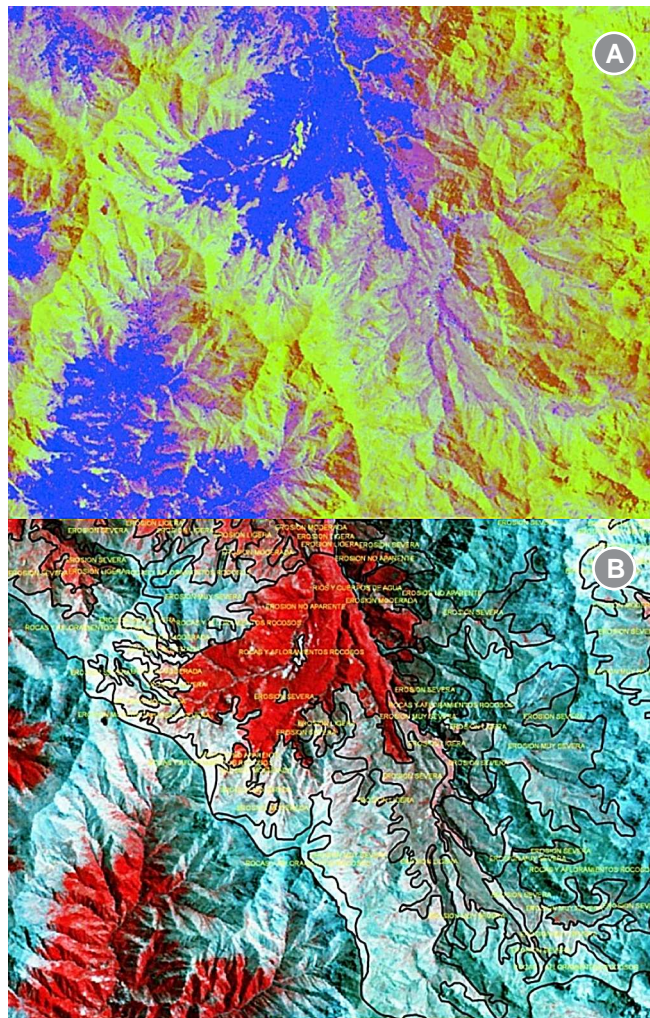
Fotografía 9. Clasificación de erosión de suelo, caso dunas litorales.

Las observaciones de terreno para la calibración de las clases de erosión se tomaron en base a un muestreo descriptivo de suelos y vegetación que cubrió la totalidad de las áreas de estudio. Las áreas de muestreo se determinaron a nivel regional, en función de la diversidad de patrones espectrales, siendo posible seleccionar 18 áreas de interés. Los sitios muestreados para erosión se posicionaron espacialmente mediante tecnología GPS. La campaña de terreno de recopilación de información tuvo como propósito entregar una descripción general de la región, el punto coordinado (UTM) con la categoría de erosión, la fotografía de terreno del lugar y las fichas de terreno que contienen una base de datos con la información levantada en terreno.

A partir de los datos obtenidos en terreno para cada unidad de muestreo, se elaboró la cobertura de erosión actual, utilizando la técnica de extrapolación, que consistió en asignar la información proveniente de las unidades cartográficas homogéneas de terreno a aquellas que no fueron muestreadas, utilizando patrones visuales de la imagen satelital (color, textura y contexto), características de la topografía, posición de la ladera, exposición y pendientes según categorías previamente establecidas, descripción de suelo, uso actual y vegetación nativa, hidrología, entre otros.

La metodología incluyó la incorporación de índices espectrales derivados de data satelital, para la determinación de la erosión actual. Para el análisis de los suelos existen una serie de indicadores espectrales, que tienen como finalidad el realzar los distintos tipos de suelos, composición y estado actual. Tales índices constituyen una capa de discriminación de las unidades de suelo. Se generaron los índices espectrales de brillo (IB), índice de arcilla (IA), índice de rojo

(IR), índice de vegetación ajustada al suelo (SAVI) invertido a partir de las imágenes Landsat TM 5 disponibles. En el caso del índice SAVI, ha sido construido con sus valores inversos, de manera que todos los índices espectrales queden en una relación directa con los porcentajes de suelos desnudos. Se realizó una composición SAVI invertido – IB – IR en los canales 1, 2 y 3 para ser visualizados en RGB. La figura 5 despliega la composición 2, 1, 3 (RGB, Figura 5a) y como referencia la composición 4, 3 y 2 (RGB, Figura 5b), para visualizar las unidades erosionadas en distintas intensidades de color amarillo, correspondiendo a los colores amarillos más intensos, los suelos con erosión severa y muy severa. Los colores cian, verdes, azules corresponden a suelos sin erosión o erosión no aparente, situación que se relaciona con suelos planos a ligeramente ondulados con coberturas de vegetación sobre el 50%.



**Figura 5.** (a) Índice de erosión, composición falso color 2,1,3 para análisis visual de erosión actual.

(b) Imagen Landsat TM, composición 4,3,2, correspondiente a la zona andina de la VI Región del Lib. Gral. Bernardo O`Higgins.

Finalmente, la información cartográfica y temática fue validada con equipos de profesionales de CIREN, visitando cada una de las áreas definidas en las cartas muestrales de terreno (figura 6).

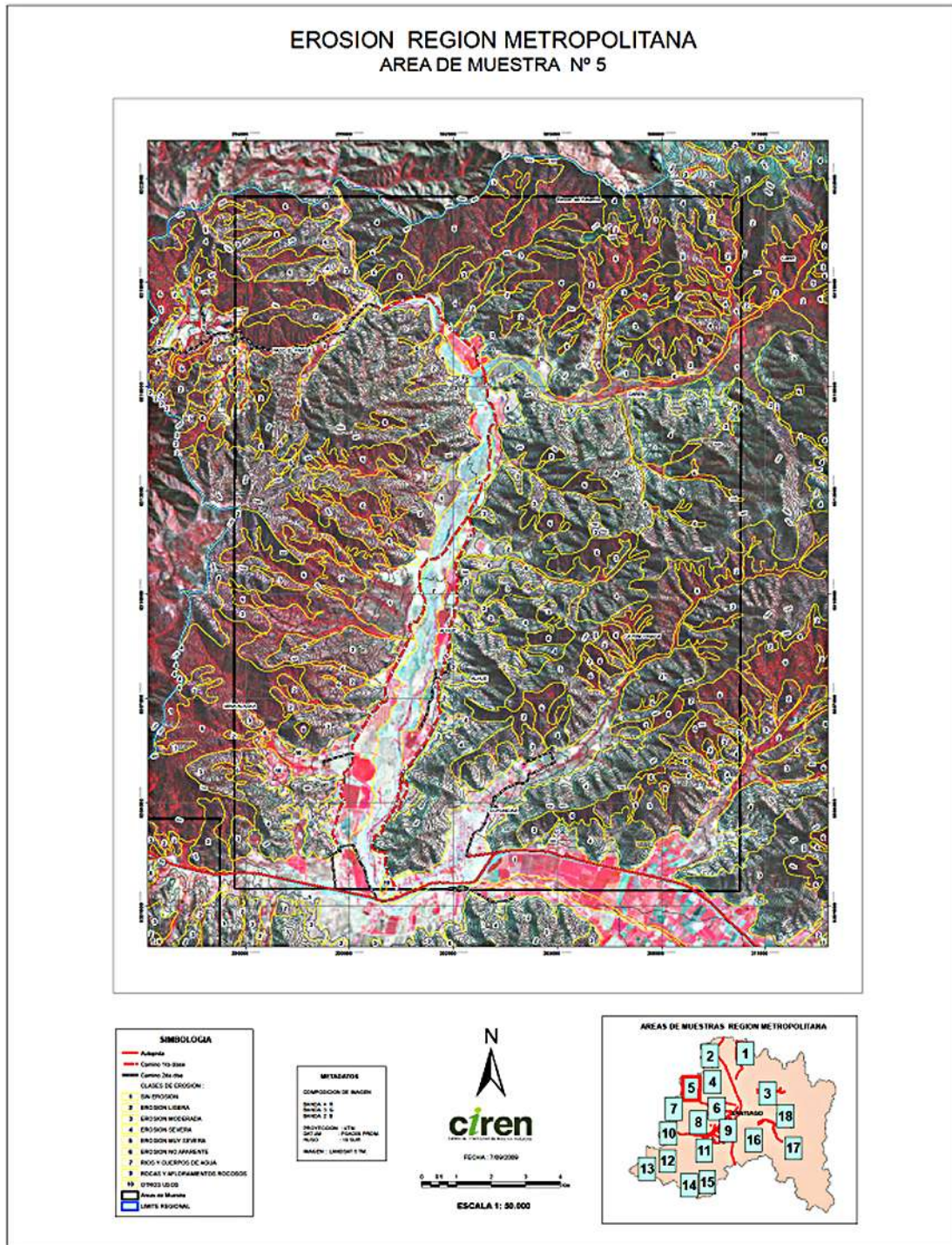
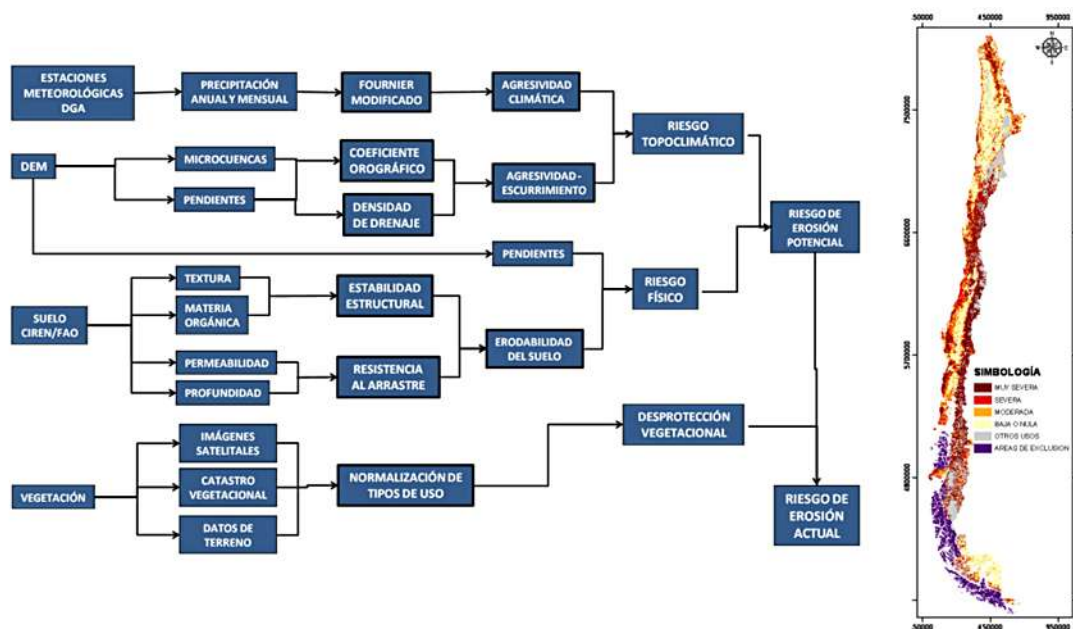


Figura 6. Áreas de muestreo y validación de la cartografía de erosión para la Región Metropolitana.

*Modelo de riesgo de erosión potencial y actual*

Para estimar la erosión potencial de los suelos de Chile se utilizó un modelo empírico cualitativo (IREPOT), basado en la conceptualización de la erosión potencial descrita por Wischmeier y Smith (1978), el cual integra las características intrínsecas del suelo, topográficas, climáticas y biológicas (riesgo de erosión actual), que se relacionan en dos componentes principales, erodabilidad del suelo y erosividad de la lluvia (figura 7). El modelo se basó en el supuesto que la potencialidad de erosión es independiente del uso y manejo actual del suelo. En otras palabras, las pérdidas, arrastre o transporte de partículas del suelo son las que tendrían lugar en caso de no existir vegetación alguna, esas pérdidas son las máximas o potenciales. Las variables básicas, así como los índices generados a partir de su combinación fueron discretizados y clasificados en función de su efecto sobre la erosión potencial en cuatro rangos: bajo(1), medio(2), alto(3) y muy alto(4).



**Figura 7.** Diagrama metodológico del modelo de riesgo de erosión potencial y actual.

Las variables de suelo clase textural, materia orgánica, permeabilidad y profundidad, definen la erodabilidad intrínseca del suelo. En el modelo resultó de la combinación entre la estabilidad estructural (clase textural con materia orgánica) y la resistencia al arrastre superficial. Esta última variable resulta de la combinación de permeabilidad y profundidad del suelo, la cuales afectan la velocidad de infiltración, capacidad de almacenaje de agua y por consiguiente la escorrentía superficial. La escala de la fuente de información utilizada para caracterización de erodabilidad fue los estudios agrológicos de suelo de CIREN, escala 1:20.000 a 1:100.000 y la base de datos de suelos SOTERLAC de FAO, escala 1:5.000.000 (utilizada en zonas sin estudios de suelos). La erodabilidad del suelo al combinarse con el porcentaje de pendiente modifican la potencialidad del suelo a sufrir erosión, así un suelo inclinado es más susceptible a erosión respecto a un suelo plano de igual erodabilidad. Esta combinación entre erodabilidad y porcentaje de pendiente se definió como riesgo físico.



Las variables topográficas altitud y pendiente media de las microcuencas definieron el coeficiente orográfico, el cual al combinarse con la densidad de drenaje de las microcuencas determinan el riesgo de agresividad escurrimiento. Se utilizó el modelo de elevación digital obtenido del modelo digital de elevación global, generado por el sensor aster de Japón, llamado oficialmente ASTER global digital elevation model V001 (ASTGTM), disponible en formato raster y cuya resolución es de 30m x 30m por pixel.

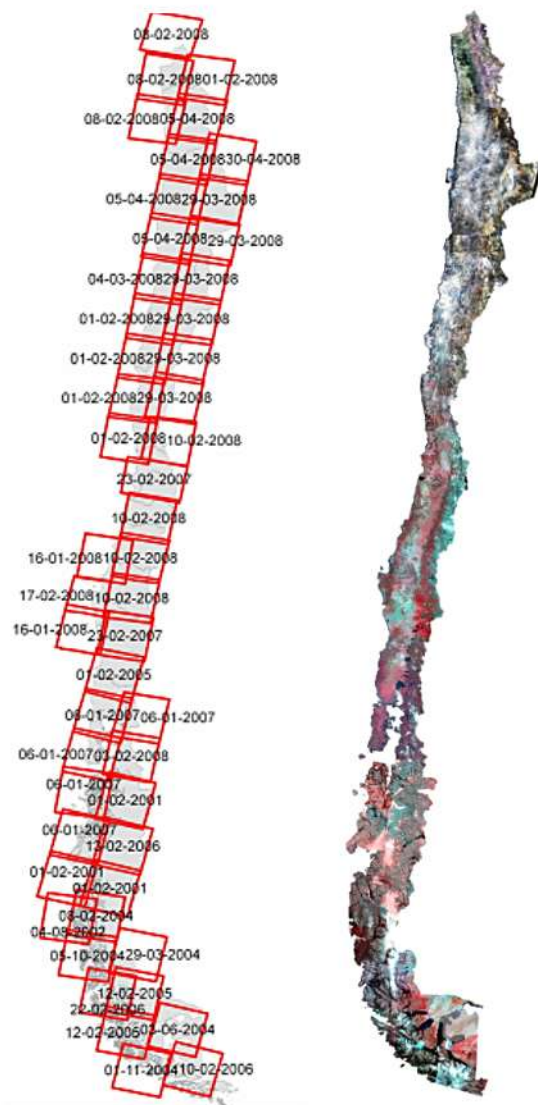
La agresividad climática es un índice que da cuenta de la erosividad de la lluvia, independientemente de las propiedades intrínsecas del suelo y vegetación. La construcción de este índice se basó en la espacialización de registros pluviométricos proporcionados por 459 estaciones meteorológicas de la Dirección General de Aguas de Chile. En cada cuenca representativa de grandes unidades fisiográficas se seleccionaron estaciones denominadas "patrones". Para cada unidad se usaron alrededor de seis estaciones patrones, las cuales fueron elegidas por calidad, cantidad de datos disponibles y fiabilidad de los registros. La completación de los datos faltantes en las estaciones patrón se estimó a través de regresión lineal STATGRAPHICS desde una estación vecina, y para la completación y corrección de datos de cada estación pluviométrica con respecto a su estación patrón se utilizó el software Hidrobas. Luego de analizar la representatividad de la agresividad de las lluvias en relación a la distribución espacial de varios índices en el territorio nacional (Índice de Fournier, Índice de Fournier Modificado e Índice de Concentración de las Precipitaciones), se decidió utilizar al Índice de Fournier Modificado como el mejor indicador de la agresividad climática. La espacialización de los datos pluviométricos se llevó a cabo mediante interpolación geoestadística por co-kriging, como función del IFM, altitud y precipitación anual. Este índice, combinado con el índice de agresividad escurrimiento proporciona el índice de riesgo topoclimático.

Finalmente, el índice de riesgo físico relacionado con el riesgo topoclimático define lo que en el modelo se definió como el riesgo de erosión potencial. El riesgo de erosión potencial refleja la capacidad que tiene el suelo, el clima y la topografía del sitio de ser erosionado, refleja la fragilidad del suelo independiente a la vegetación y a las prácticas de manejo.

El riesgo de erosión potencial al correlacionarlo con el índice de desprotección actual del suelo (derivado de la cobertura vegetal a partir de imágenes satelitales y uso de la tierra) definen el riesgo de erosión actual. Este índice se puede utilizar como un estimador de la erosión actual del suelo en aquellas áreas clasificadas como "erosión no aparente" en el modelo satelital de erosión actual. Este índice refleja la potencialidad que tiene el suelo a ser erosionado si se mantienen las condiciones actuales de vegetación. Dado que a la escala de presentación de los resultados es difícil observar las prácticas de manejo específicas de un suelo, este factor relevante a escala predial, no se incluyó directamente en el modelo de determinación de erosión potencial y de riesgo de erosión actual.

## LÍNEA BASE DE INFORMACIÓN BIOGEOFÍSICA

La línea base del proyecto se construyó a partir de la compilación de la información existente (figura 8), tanto en formato digital como en papel, para las diferentes zonas de estudio. Se recopilaron las capas de información de forma de ajustar, corregir, o reproyectar dichos coberturas y proceder al calce de todos los elementos temáticos y cartográficos que se encontraron disponibles.



Imágenes Landsat 5 TM de 30 metros de resolución.  
Curvas de nivel del Instituto Geográfico Militar, IGM.  
Hidrografía (ríos, cuerpos de agua, esteros, quebradas, etc.).

Geomorfología (Información base CIREN).

Hidrología (Información base IGM).

Caminos (Información base IGM).

Límites administrativos (Información base IGM)

Estudios agrológicos de CIREN.

Datos pluviométricos de la Dirección General de Aguas, DGA-Chile (periodo 1950 - 2008).

Catastro de la vegetación nativa de Chile de CONAF y sus actualizaciones.

Modelo de elevación digital ASTER-GDEM.

Estudios de suelos regionales disponibles.

Mapas digitalizados desde el Centro de documentación CIREN, contienen indicadores de erosión y fragilidad e información de suelos a nivel de fases de series.

Cartografía de erosión, IREN 1979.

**Figura 8.** Línea base de información -  
Imágenes satelitales Landsat TM 5.



## EQUIPO DE TRABAJO

---

El equipo técnico que participó en el desarrollo del proyecto fue el siguiente:

Director de Proyecto: Juan Pablo Flores Villanelo, Ing.For. DEA.

Director Alterno: Marión Espinosa Toro, Ing.Agr. MSc.

Asesor Temático: Eduardo Martínez Herrera, Ing.For. Dr.

Asesor Satelital: Pedro Muñoz Aguayo. Geog.

### Desarrollo y Apoyo Terreno

Pablo Avendaño Vercellino, Ing.Agr.

Patricio Torres Fuentes, Ing.Agr.

Gabriel Henríquez Armijo, Ing.Agr. MSc

Isaac Ahumada Fonseca, Ing.For. MBA(c)

Rodolfo Freres González, Ing. Agr.

Catalina Hernández Silva, Ing. Agr.

Carolina Leiva Madrid, Ing.Agr.

Claudia Sanguesa Pool, Ing.For. MSc.

Marcelo Retamal Gajardo, Cart.

Balfredo Toledo Hernández, Cart.

Luz María Marín Arce, Cart.

Gabriel Ortiz Flores, Cart.

Claudia González Bustamante, Ing.Amb. MSc.

### Coordinadores de Proyecto

Mario Lagos Subiabre, Servicio Agrícola Ganadero - SAG

Sergio Maldonado Solís, Servicio Agrícola Ganadero - SAG

David Aracena Lassarre, Instituto de Desarrollo Agropecuario - INDAP

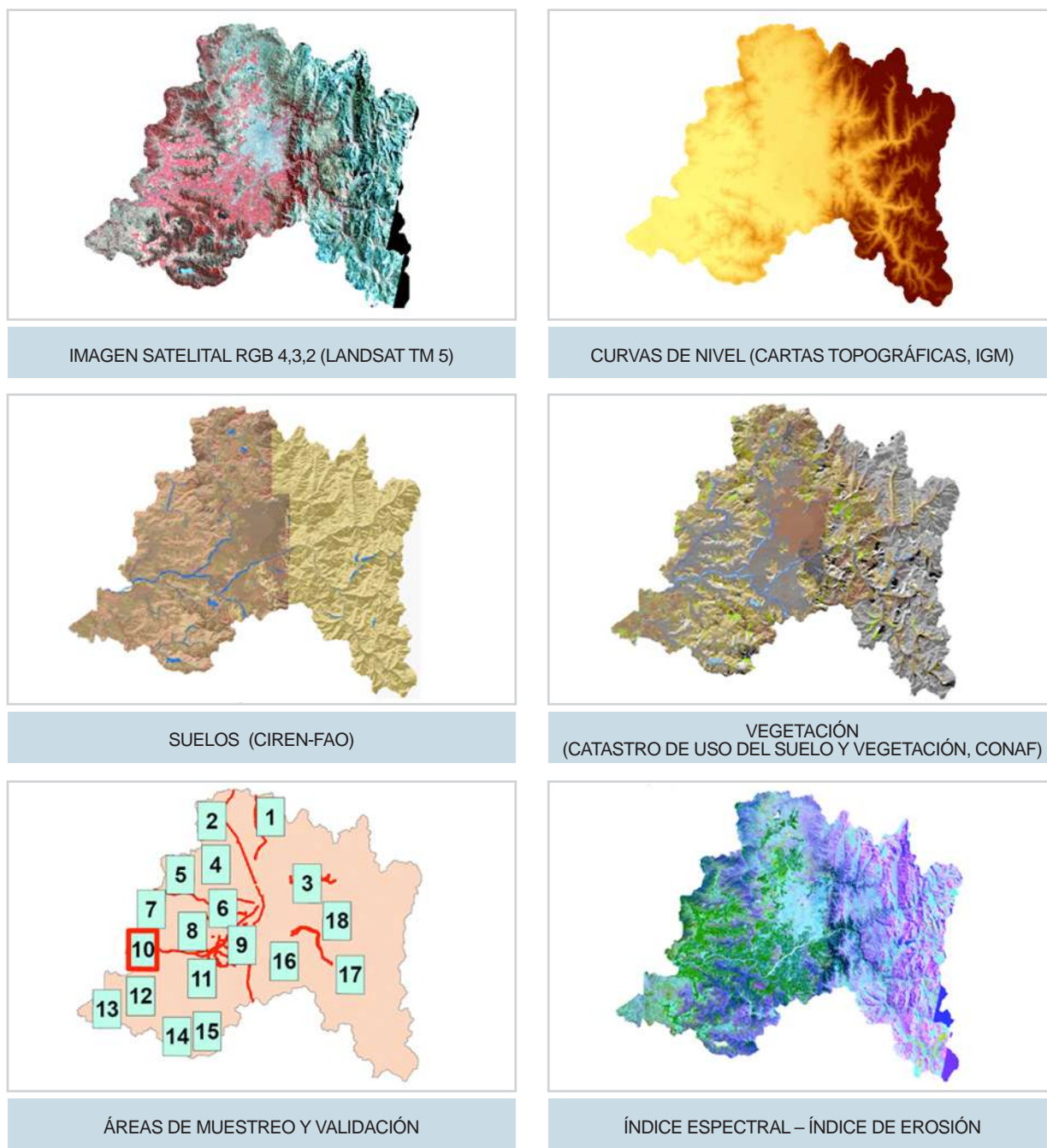
Patricio Grez Marchant, Oficina de Estudios y Políticas Agrarias - ODEPA

José Ramírez Cabello, Oficina de Estudios y Políticas Agrarias – ODEPA

Roberto Lisboa Valle, Corporación Nacional Forestal - CONAF

## RESULTADOS Y ESTADÍSTICAS DE LA REGIÓN

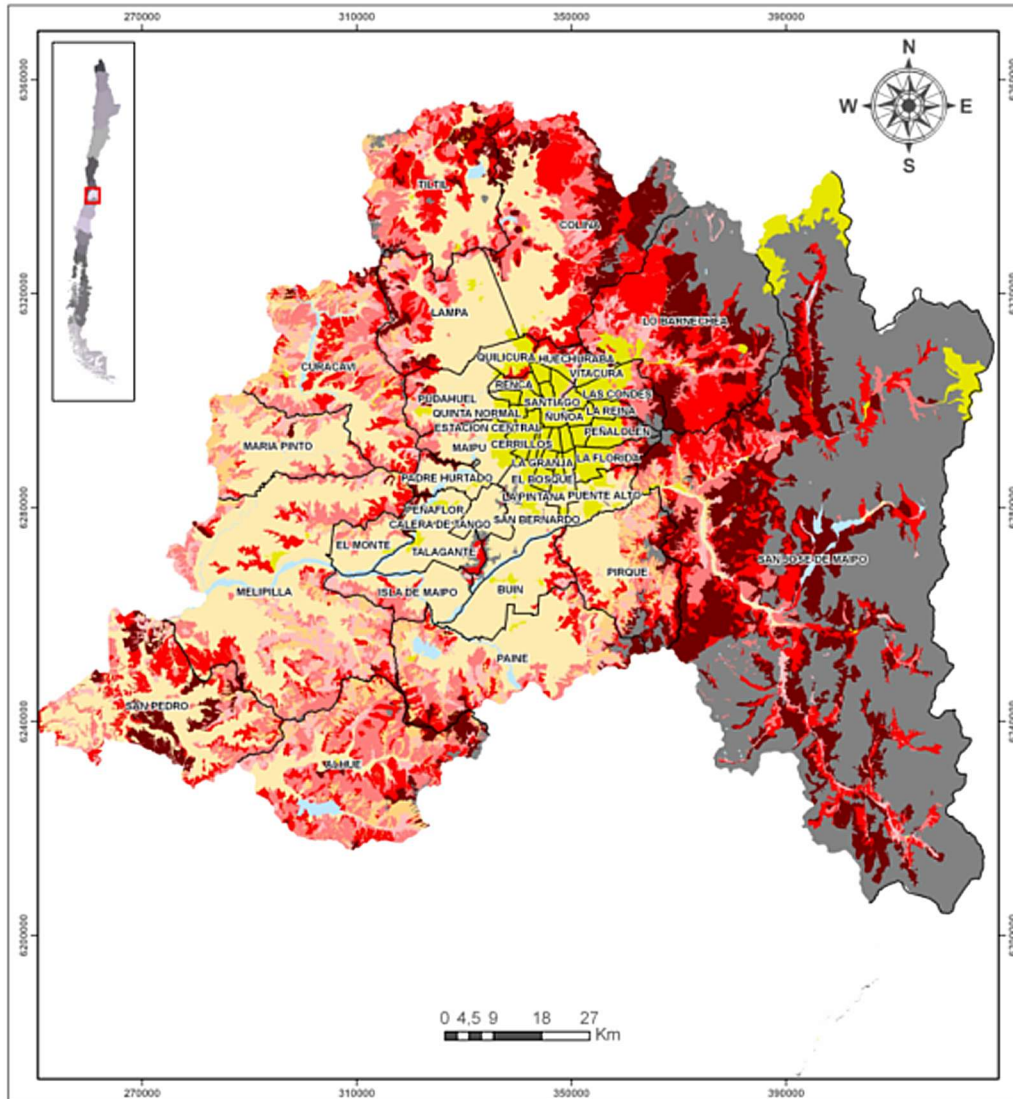
Se presentan los resultados de erosión actual, y las coberturas de información utilizadas (figuras 9 y 10).



**Figura 9.** Cobertura de información biogeofísica para la determinación de la erosión actual en la Región Metropolitana – modelo erosión actual.



## CARTOGRAFÍA EROSIÓN ACTUAL REGION METROPOLITANA DE SANTIAGO



Simbología Erosión Nacional		
Descripción		
	EROSION MUY SEVERA	
	EROSION SEVERA	
	EROSION MODERADA	
	SIN EROSION	
	EROSION NO APARENTE	
		PLAYAS Y DUNAS
		RIOS Y CUERPOS DE AGUA
		ROCAS Y AFLORAMIENTOS ROCOSOS
		OTROS USOS

Figura 10. Mapa de erosión actual para la Región Metropolitana.

Las estadísticas regionales de la erosión actual se presentan en el cuadro 3.

**Cuadro 3.** Superficie de erosión actual en la Región Metropolitana (por comunas)

Región/Provincia/Comuna	SIN EROSIÓN	EROSIÓN LIGERA	EROSIÓN MODERADA	EROSIÓN SEVERA	EROSIÓN MUY SEVERA	EROSIÓN NO APARENTE	OTRAS CATEGORIAS	SUELOS EROSIONADOS	Total general
<b>R. METROPOLITANA</b>	<b>354.241</b>	<b>93.359</b>	<b>189.453</b>	<b>213.450</b>	<b>186.785</b>	<b>68.015</b>	<b>435.293</b>	<b>683.047</b>	<b>1.540.597</b>
<b>CHACABUCO</b>	<b>66.292</b>	<b>11.575</b>	<b>36.542</b>	<b>49.248</b>	<b>28.476</b>	<b>4.660</b>	<b>10.853</b>	<b>125.841</b>	<b>207.646</b>
COLINA	24.425	3.163	14.878	26.491	20.064	978	7.097	64.596	97.096
LAMPA	23.163	4.726	6.604	5.320	3.058	1.273	872	19.708	45.017
TILTIL	18.704	3.685	15.060	17.437	5.353	2.409	2.883	41.537	65.533
<b>CORDILLERA</b>	<b>22.035</b>	<b>11.276</b>	<b>30.309</b>	<b>58.702</b>	<b>106.282</b>	<b>11.077</b>	<b>312.385</b>	<b>206.568</b>	<b>552.064</b>
PIRQUE	13.445	4.316	5.027	5.530	5.119	7.604	3.430	19.991	44.470
PUENTE ALTO	5.369	203	119	486	17	320	2.315	825	8.829
SAN JOSE DE MAIPO	3.220	6.757	25.162	52.686	101.146	3.154	306.640	185.752	498.766
<b>MAIPO</b>	<b>60.103</b>	<b>8.305</b>	<b>12.310</b>	<b>9.266</b>	<b>3.567</b>	<b>8.457</b>	<b>10.064</b>	<b>33.448</b>	<b>112.072</b>
BUIN	17.038	556	557	1.587		134	1.680	2.700	21.553
CALERA DE TANGO	6.518		15	456			306	471	7.295
PAINE	26.819	7.678	11.640	6.143	3.567	8.323	3.635	29.029	67.806
SAN BERNARDO	9.728	71	97	1.079			4.442	1.248	15.418
<b>MELIPILLA</b>	<b>142.943</b>	<b>50.933</b>	<b>87.364</b>	<b>56.111</b>	<b>19.295</b>	<b>41.107</b>	<b>9.895</b>	<b>213.703</b>	<b>407.647</b>
ALHUE	9.317	10.026	28.869	15.003	5.425	12.236	3.741	59.323	84.618
CURACAVI	13.722	9.646	19.196	13.453	894	10.344	2.212	43.189	69.468
MARIA PINTO	20.017	5.147	7.376	921	249	5.425	334	13.692	39.468
MELIPILLA	66.406	18.939	21.159	13.879	1.298	10.190	3.483	55.274	135.354
SAN PEDRO	33.481	7.176	10.764	12.855	11.429	2.911	125	42.224	78.741
<b>SANTIAGO</b>	<b>26.367</b>	<b>8.592</b>	<b>17.820</b>	<b>36.400</b>	<b>27.071</b>	<b>1.547</b>	<b>85.208</b>	<b>89.883</b>	<b>203.006</b>
CERRILLOS							2.143	0	2.143
CERRO NAVIA	236						876	0	1.112
CONCHALI	2						1.093	0	1.095
EL BOSQUE	79						1.326	0	1.405
ESTACION CENTRAL							1.410	0	1.410
HUECHURABA	915	501	175	1.448	352	18	1.130	2.477	4.540
INDEPENDENCIA							741	0	741
LA CISTERNA							998	0	998
LA FLORIDA	373	484	787	458	656	359	3.945	2.385	7.063
LA GRANJA	139						863	0	1.003
LA PINTANA	2.149						925	0	3.075
LA REINA			146	400	25		1.762	571	2.333
LAS CONDES		316	2.382	1.243	1.386		4.608	5.328	9.936
LO BARNECHEA		5.037	10.307	29.361	23.176	664	33.823	67.881	102.368
LO ESPEJO							726	0	726
LO PRADO							656	0	656
MACUL							1.272	0	1.272
MAIPU	7.533	179	1.438	217	389	82	3.457	2.223	13.295
NUNOA							1.684	0	1.684
PEDRO AGUIRRE CERDA							981	0	981
PENALOEN		19	492	402	325	90	4.065	1.236	5.392
PROVIDENCIA		144					1.283	144	1.426
PUDAHUEL	11.951	1.068	2.008	1.857	667	333	1.912	5.600	19.797
QUILICURA	2.131	31	19	734			2.806	784	5.721
QUINTA NORMAL							1.255	0	1.255
RECOLETA		283					1.299	283	1.582
RENCA	858		23	262			1.195	286	2.339
SAN JOAQUIN							999	0	999
SAN MIGUEL							963	0	963
SAN RAMON							630	0	630
SANTIAGO							2.235	0	2.235
VITACURA		531	42	18	95		2.144	686	2.830
<b>TALAGANTE</b>	<b>36.501</b>	<b>2.678</b>	<b>5.108</b>	<b>3.724</b>	<b>2.094</b>	<b>1.167</b>	<b>6.890</b>	<b>13.604</b>	<b>58.162</b>
EL MONTE	7.139	383	1.927	26	87	933	1.030	2.423	11.525
ISLA DE MAIPO	10.751	1.696	2.976	1.553		198	1.729	6.225	18.902
PADRE HURTADO	5.084	413	138	97	993	35	1.277	1.641	8.037
PEÑAFLORES	4.337	102	67	7	888		1.575	1.064	6.976
TALAGANTE	9.191	85		2.041	126		1.279	2.251	12.721

\* Suelo erosionado comprende las clases ligera, moderada, severa y muy severa. Sensor remoto no registra información en zonas con cobertura vegetal sobre el 75% (erosión no aparente).



Las categorías de erosión expresadas en términos de superficie, indudablemente varían su significancia o proporción relativa de acuerdo al tamaño de cada región. La superficie actual de suelos erosionados (clasificados en categorías de erosión ligera, moderada, severa y muy severa) de la Región Metropolitana es de 683.047 hectáreas, lo que representa el 44,3% de la superficie regional, pero el 61,8% de los suelos de la región (figura 11). Sin embargo, parte de esta superficie, en especial hacia la Cordillera de los Andes, ha sido afectada durante milenios por procesos de erosión natural (agua, hielo, viento), sin mayor intervención del ser humano.

## METROPOLITANA DE SANTIAGO

PORCENTAJE (%) DE SUPERFICIE  
DE SUELOS EROSIONADOS

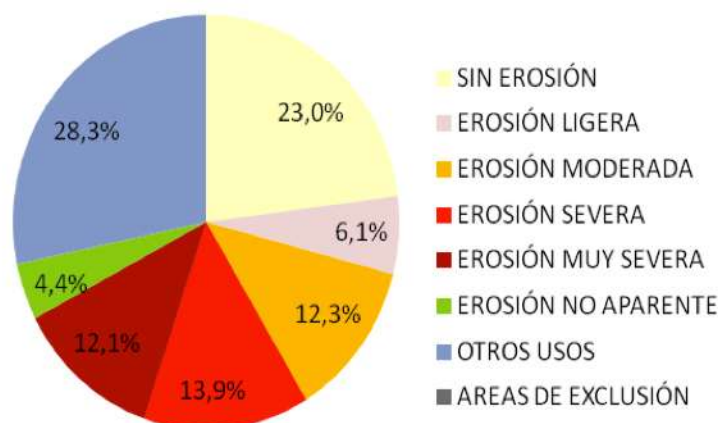
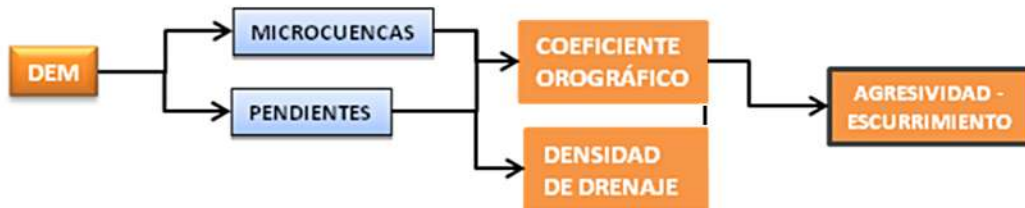


Figura 11. Porcentaje regional (%) de superficie de suelos erosionados.

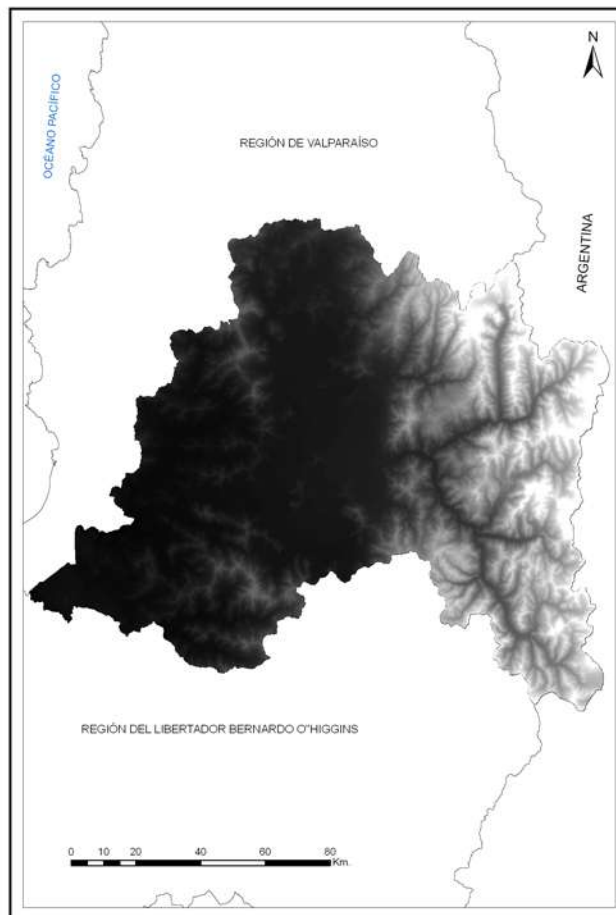
A nivel nacional, se pudo observar que la mayor cantidad de suelos erosionados aumentan de sur a norte. Una superficie de 36,8 millones de hectáreas, equivalentes al 49,1% del territorio nacional presenta algún grado de erosión. Los sectores con mayores problemas de erosión actual lo lideran las regiones de Coquimbo, con el 84%; Valparaíso, con 57%, y O'Higgins con el 52% de sus suelos.

En cuanto al riesgo de erosión potencial determinado a partir de un modelo empírico y cualitativo integró las características intrínsecas del suelo, topográficas, climáticas y biológicas. Se describen los índices de resultados intermedios: Índice de agresividad - escurrimiento, Índice de erodabilidad del suelo, Índice de agresividad climática e Índice de desprotección vegetal. Posteriormente, se describen los siguientes índices producto de la combinación de los índices anteriores: índice de riesgo topoclimático, índice de riesgo físico, índice de riesgo de erosión potencial e índice de riesgo de erosión actual.

**Índice de agresividad - escurrimiento.**



La obtención de este índice se basó en la información proporcionada por el Modelo Digital de Elevación (DEM) generado por el sensor Aster de Japón (ASTER Digital Elevation Model V001) que está disponible en formato raster, con una resolución 30 x 30m por pixel, en coordenadas geográficas Lat/Long y Datum WGS84, Huso 19 Promedio. El DEM correspondiente a la superficie ocupada por Chile fue ajustado a los límites continentales del país. La figura 12 muestra el modelo de elevación digital regional.



**Figura 12.** Modelo Global de elevación digital ASTER-GDEM.



### Cartografía de cuencas.

Se delimitó las cuencas hidrográficas y se determinaron parámetros geomorfológicos mediante el uso del modelo de elevación digital ASTER-GDEM y la modelación raster de TNTmips, considerando la integridad del flujo de grandes cuencas hidrográficas (figura 13).

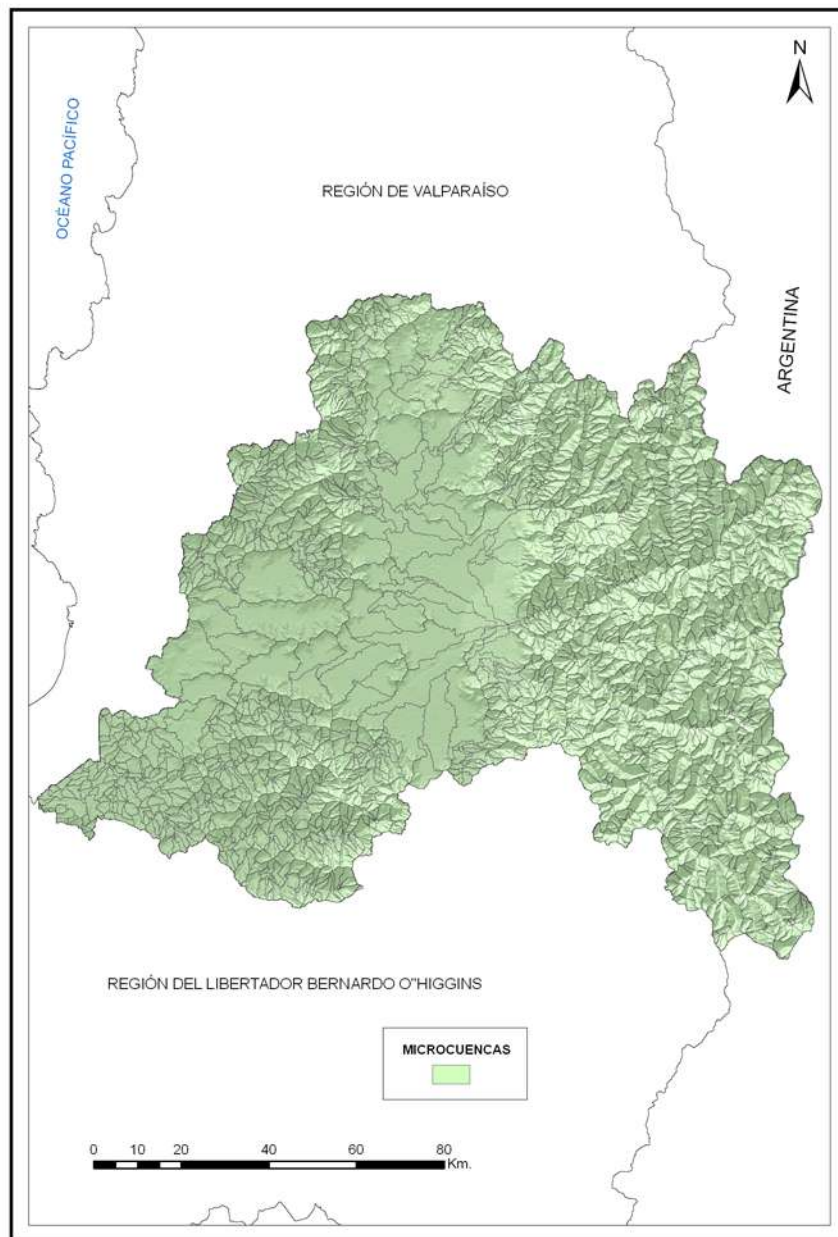


Figura 13. Microcuencas para la Región Metropolitana.

### Coeficiente orográfico.

Constituye un indicador de la topografía de la ladera considerando en forma conjunta la pendiente y la altura media. Un indicador clasificado en un valor mayor a 6 indicaría presencia de relieve accidentado, es decir, mayor riesgo de erosión (figura 14).

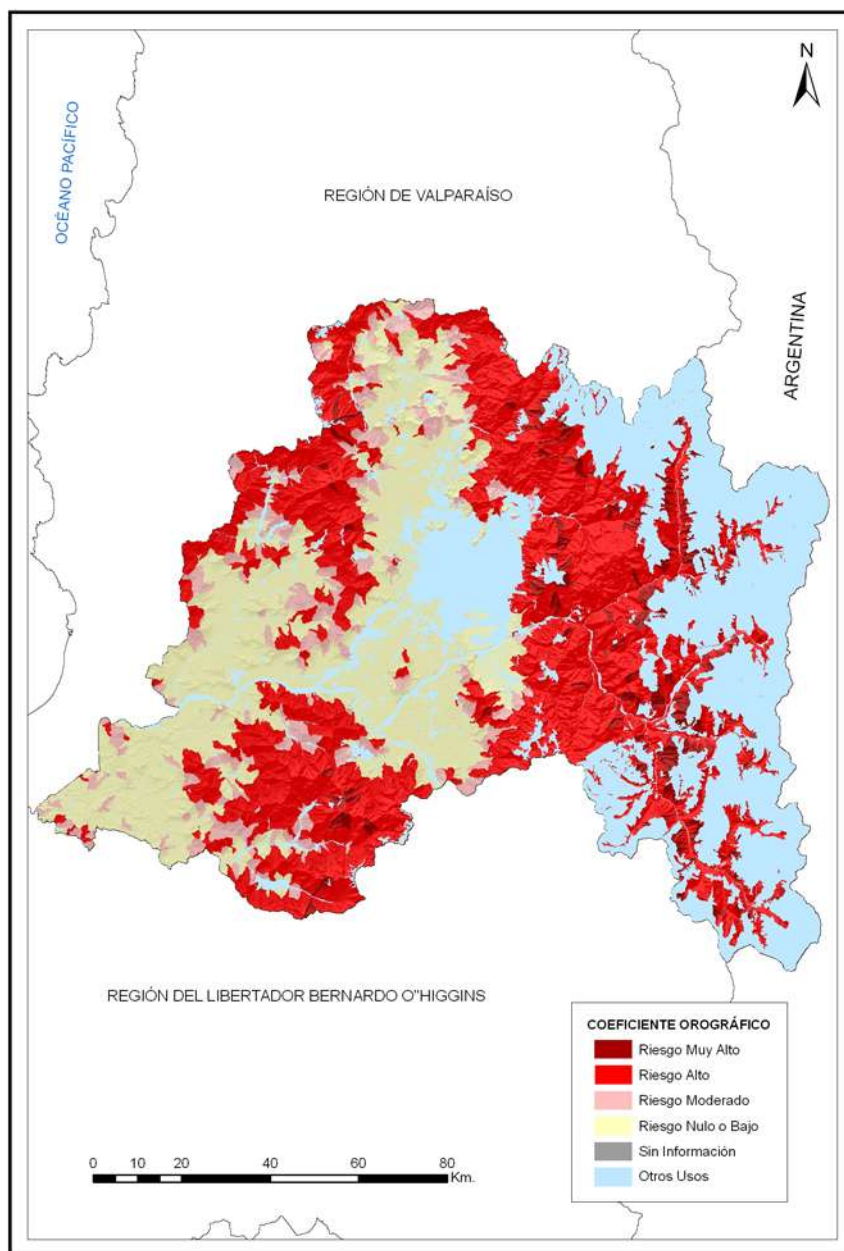


Figura 14. Índice de coeficiente orográfico.



### Cartografía de pendientes.

Representa el grado de inclinación del paisaje. Mayores pendientes del terreno provocan mayores riesgos de erosión de los suelos (figura 15).

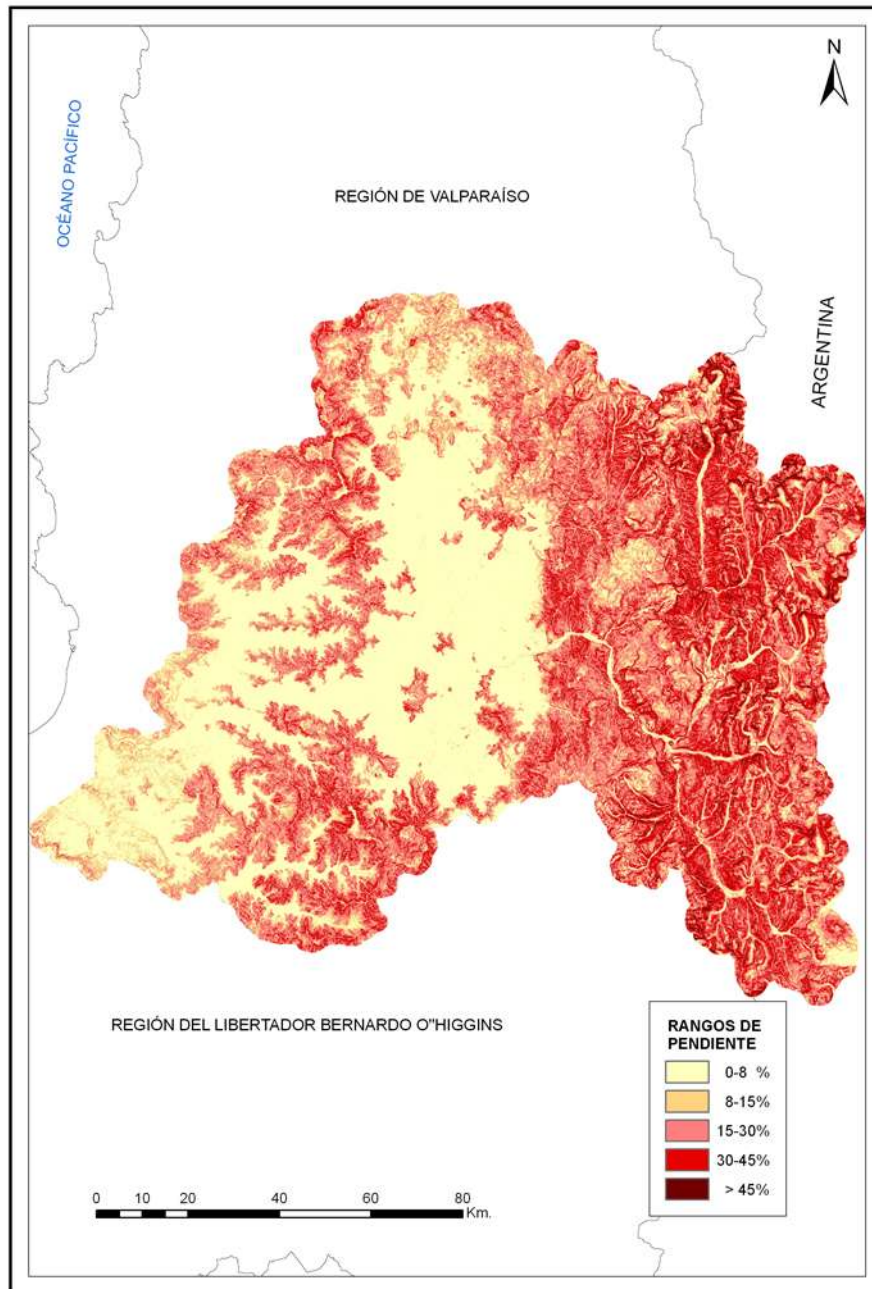
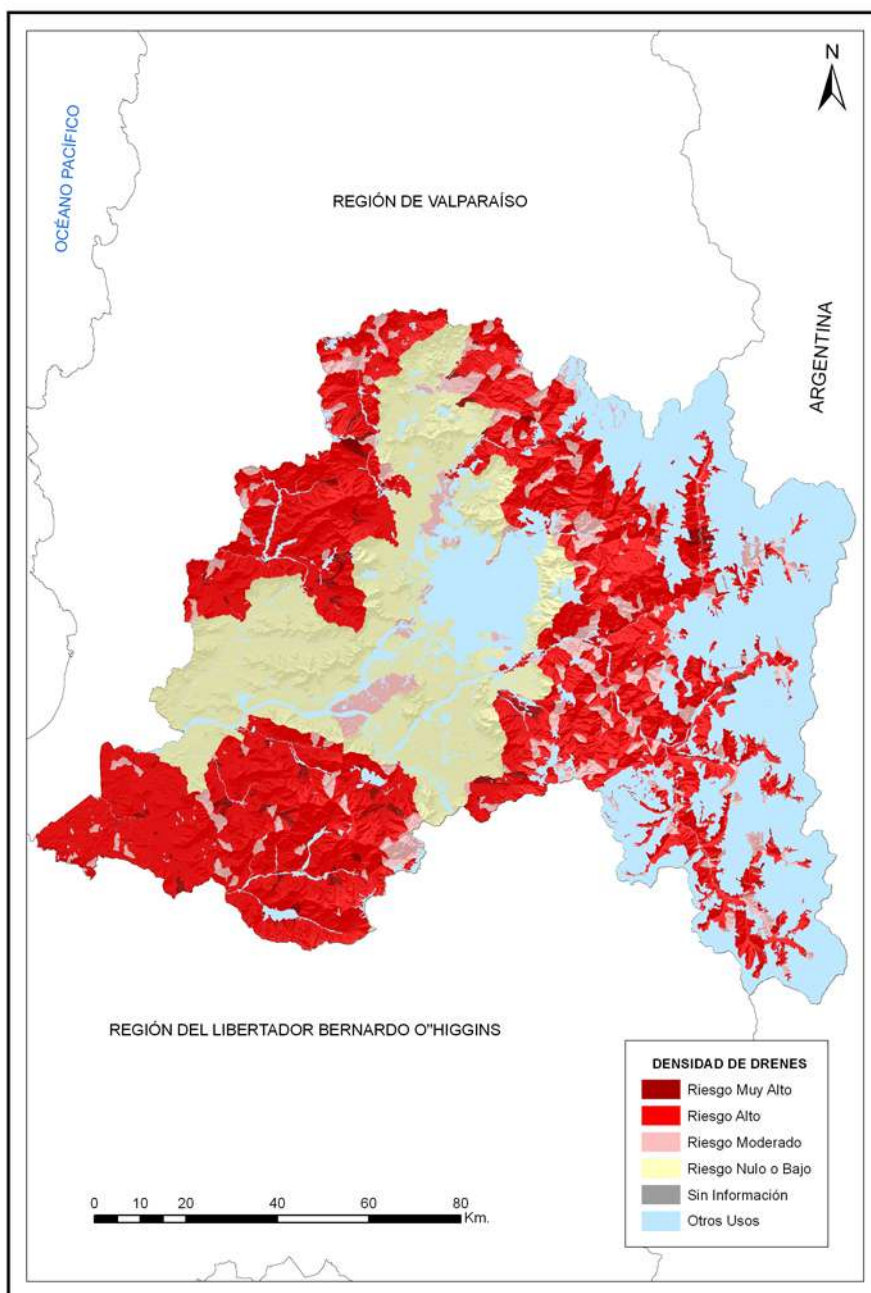


Figura 15. Índice de riesgo por pendientes.

**Densidad de drenes.**

Definida como el cociente entre el largo (m) de los drenes de una cuenca y la superficie (m<sup>2</sup>) de la cuenca. Da cuenta del riesgo correspondiente a la incisión natural que la ladera contiene. A suelos con rocas blandas, le corresponde un potencial mayor de escorrentía superficial y una mayor densidad de drenes naturales, por consiguiente, un mayor potencial de riesgo erosivo (figura 16).



**Figura 16.** Índice densidad de drenes.



Finalmente, el índice de agresividad-escorrimento se muestra en la figura 17.

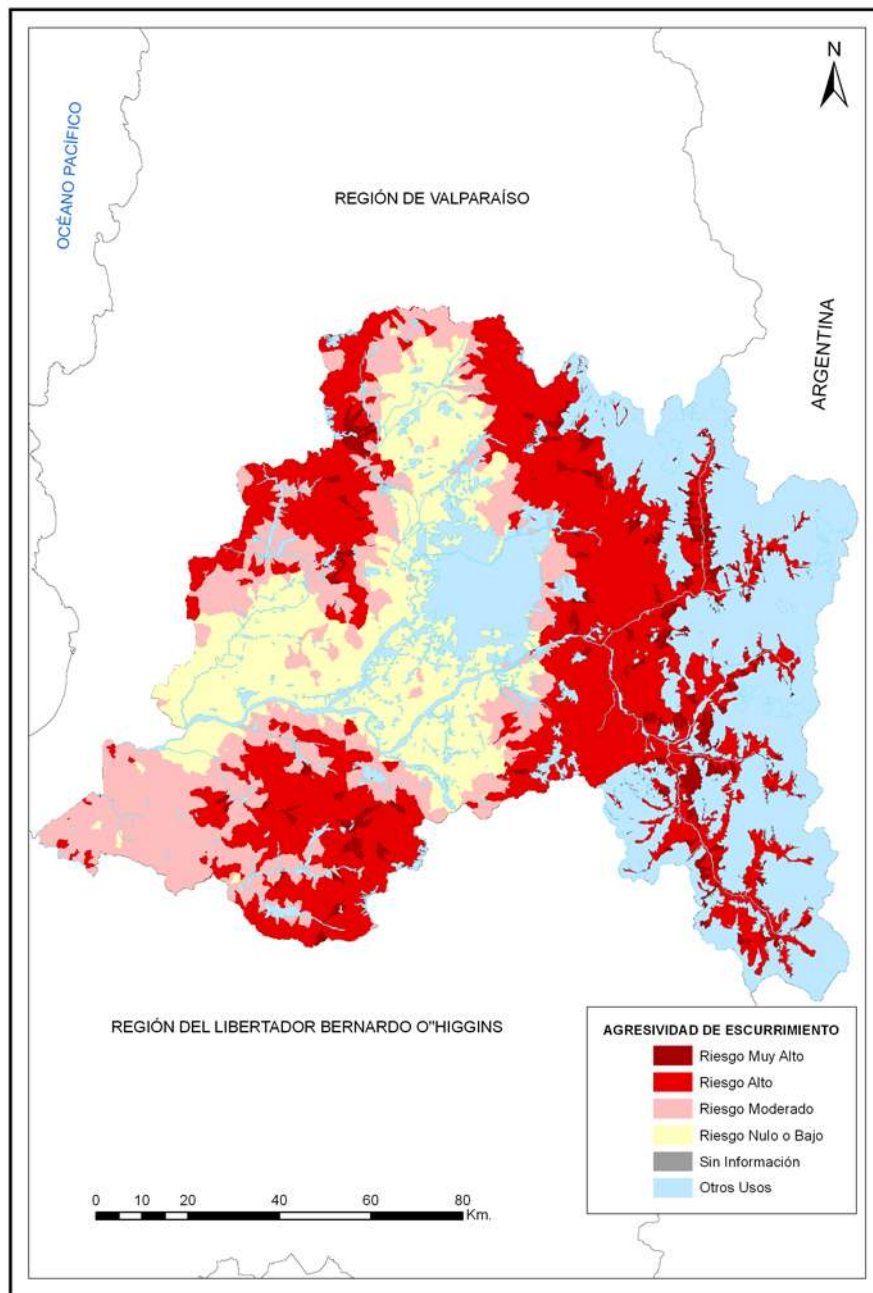
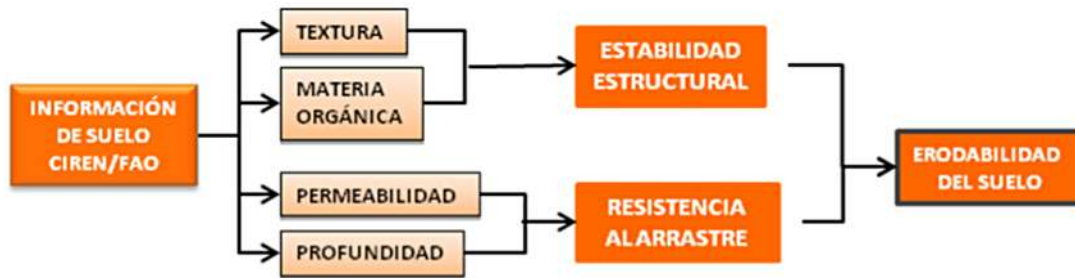
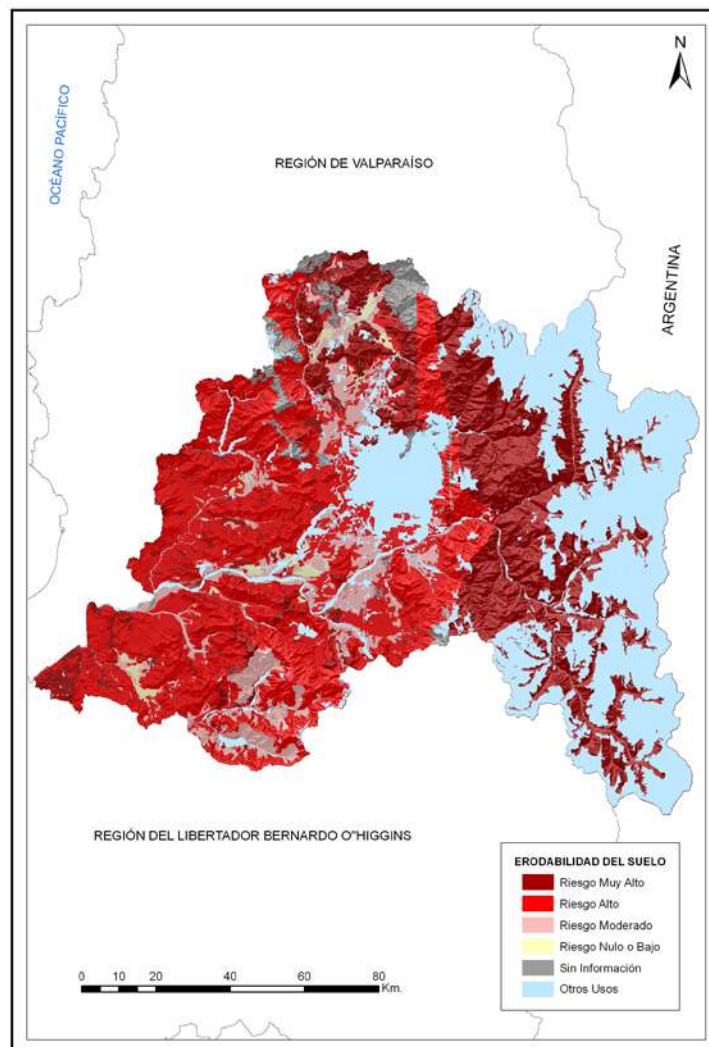


Figura 17. Índice de agresividad escurrimiento.

**Índice de erodabilidad del suelo.**



La erodabilidad del suelo (figura 18) se obtuvo considerando el desprendimiento de partículas por impacto de la gota de agua (estabilidad estructural) y el transporte (resistencia al arrastre por escorrentía).



**Figura 18.** Índice de erodabilidad de suelo.



### Índice de agresividad climática.

La agresividad climática da cuenta de la erosividad de la lluvia (Índice de Fournier Modificado, IFM), independientemente de las propiedades intrínsecas del suelo y vegetación (figura 19). A mayor intensidad de lluvia, mayores son las tasas de pérdida de suelos.

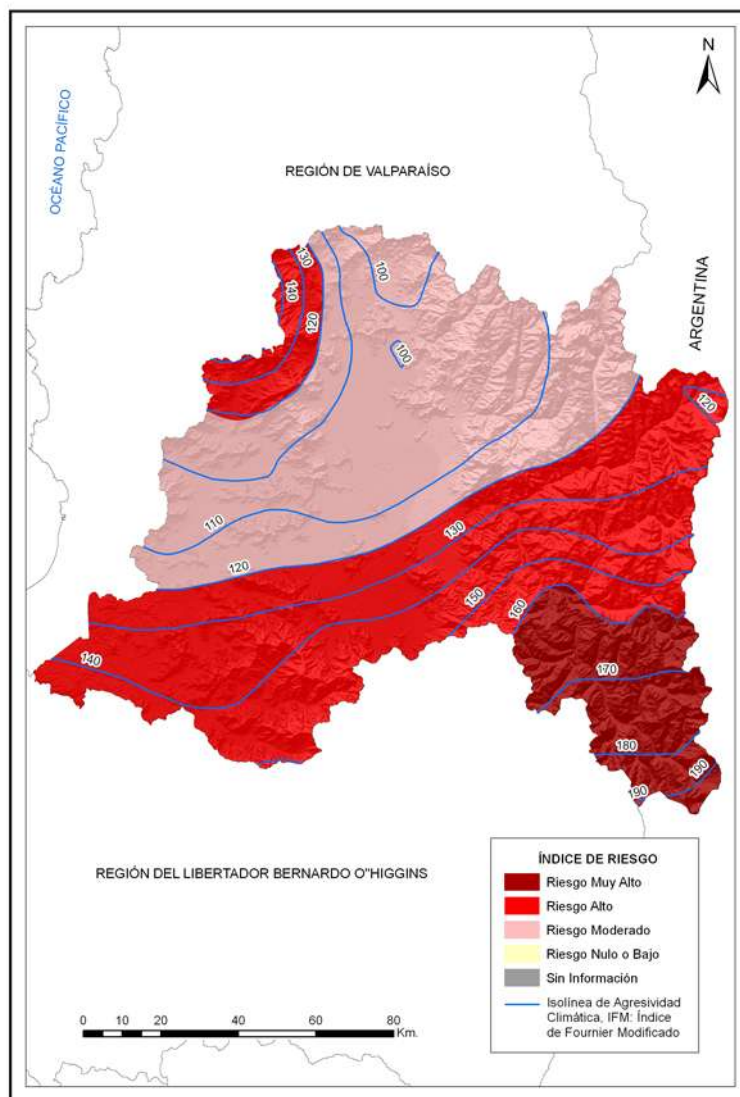
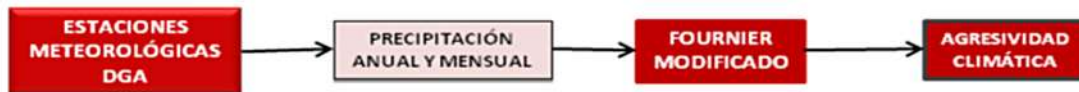


Figura 19. Índice de agresividad climática.

Índice de riesgo topoclimático.

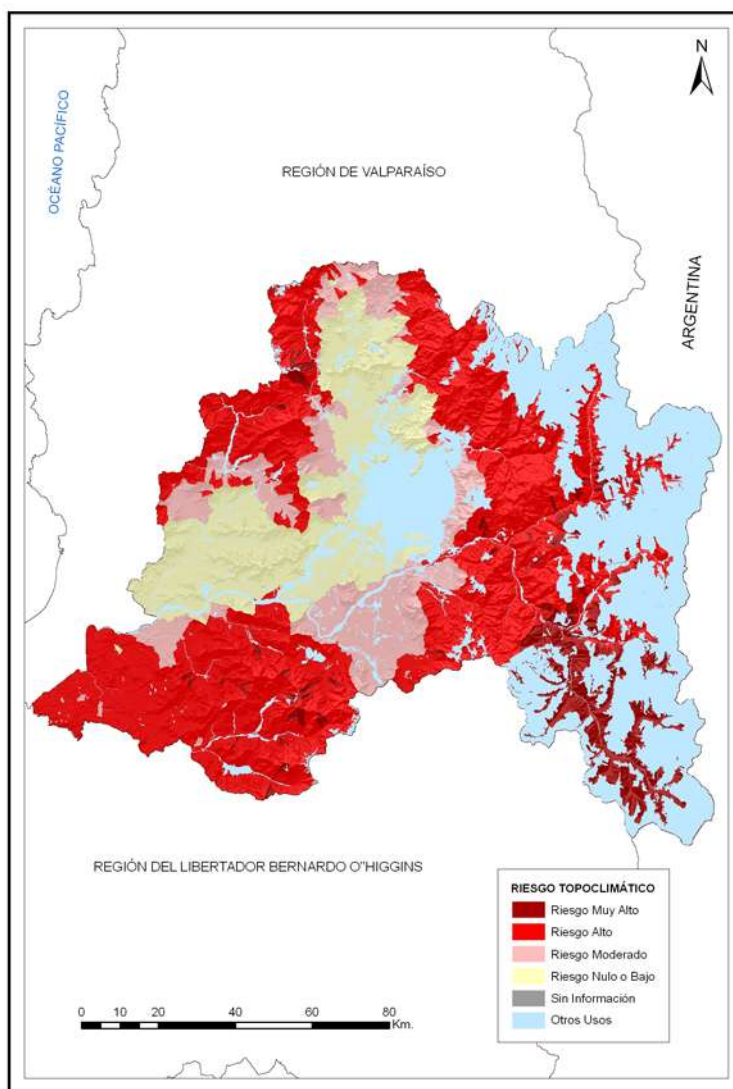
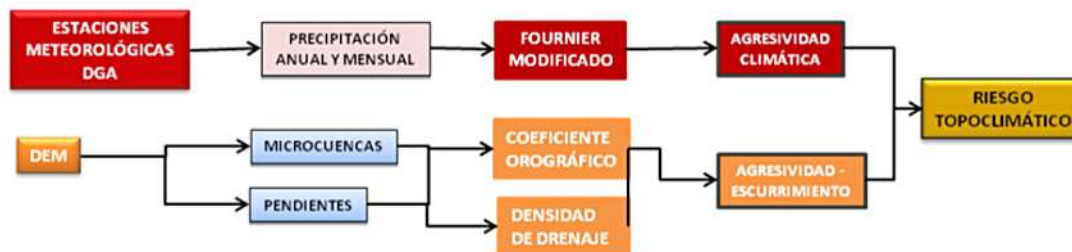


Figura 20. Índice de riesgo topoclimático.



Índice de riesgo físico.

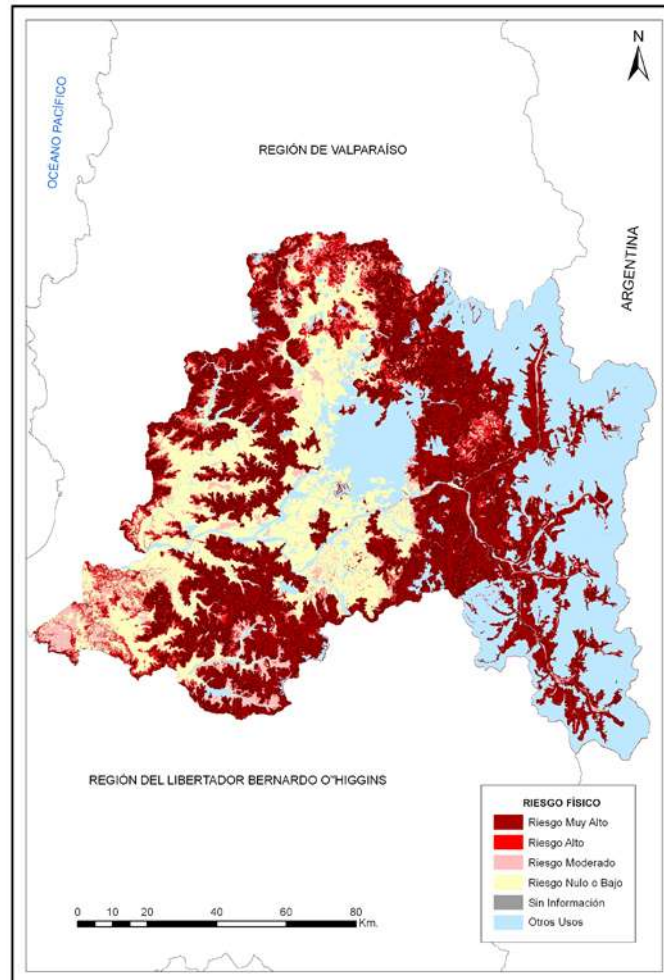
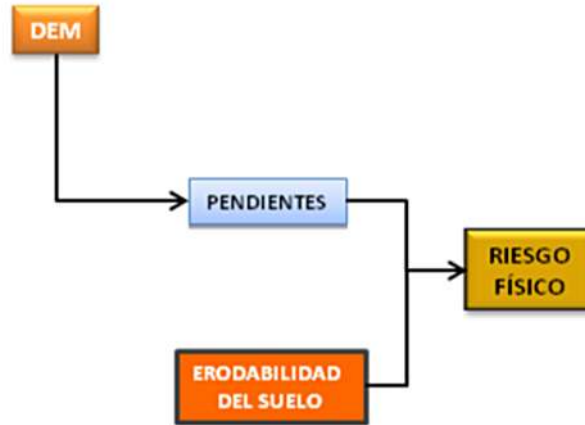
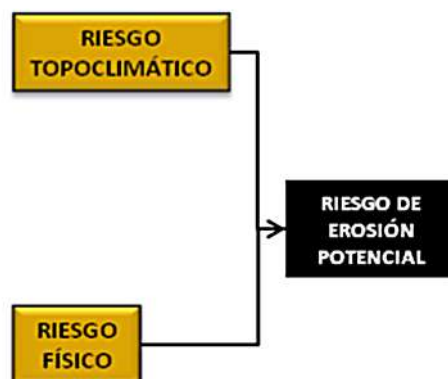


Figura 21. Índice de riesgo físico.

**Índice de riesgo de erosión potencial.**

El modelo es el resultado de la combinación de tres grupos de variables básicas: topográficas-hidrológicas, agresividad de la lluvia y suelo. A partir de estas variables se generaron distintos índices, que tratados con criterios mecanicistas y empíricos y utilizando herramientas de combinación espacial, permiten definir los índices resultantes. Así, el índice de riesgo físico relacionado con el riesgo topoclimático define lo que en el modelo se definió como el riesgo de erosión potencial.



A continuación, se presenta los resultados a nivel comunal (cuadro 4) y a nivel regional (figura 22 y 24).

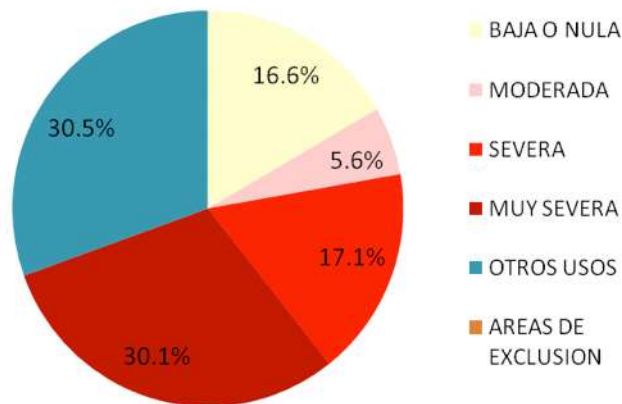
**Cuadro 4.** Estadística del índice de riesgo de erosión potencial (por provincias).

Región/Provincia/Comuna	BAJA O NULA	MODERADA	SEVERA	MUY SEVERA	OTRAS CATEGORIAS	Total general
R. METROPOLITANA	255.940	86.308	264.157	464.181	470.356	1.540.942
CHACABUCO	57.566	24.277	50.884	55.982	18.927	207.637
CORDILLERA	5.796	6.787	38.070	183.112	318.703	552.468
MAIPO	42.774	9.690	14.350	30.776	14.475	112.065
MELIPILLA	98.417	39.052	125.167	128.163	16.824	407.623
SANTIAGO	20.192	3.721	27.891	59.544	91.644	202.993
TALAGANTE	31.195	2.780	7.794	6.603	9.784	58.157



## METROPOLITANA DE SANTIAGO

PORCENTAJE (%) DE SUPERFICIE  
CON RIESGO DE EROSIÓN POTENCIAL



**Figura 22.** Porcentaje (%) superficie con riesgo de erosión potencial, a nivel regional.



**Figura 23.** Sector Alhué  
Coordenadas E 315632 – N 6314303  
Clase de erosión: moderada

## CARTOGRAFÍA DE RIESGO DE EROSION POTENCIAL REGIÓN METROPOLITANA

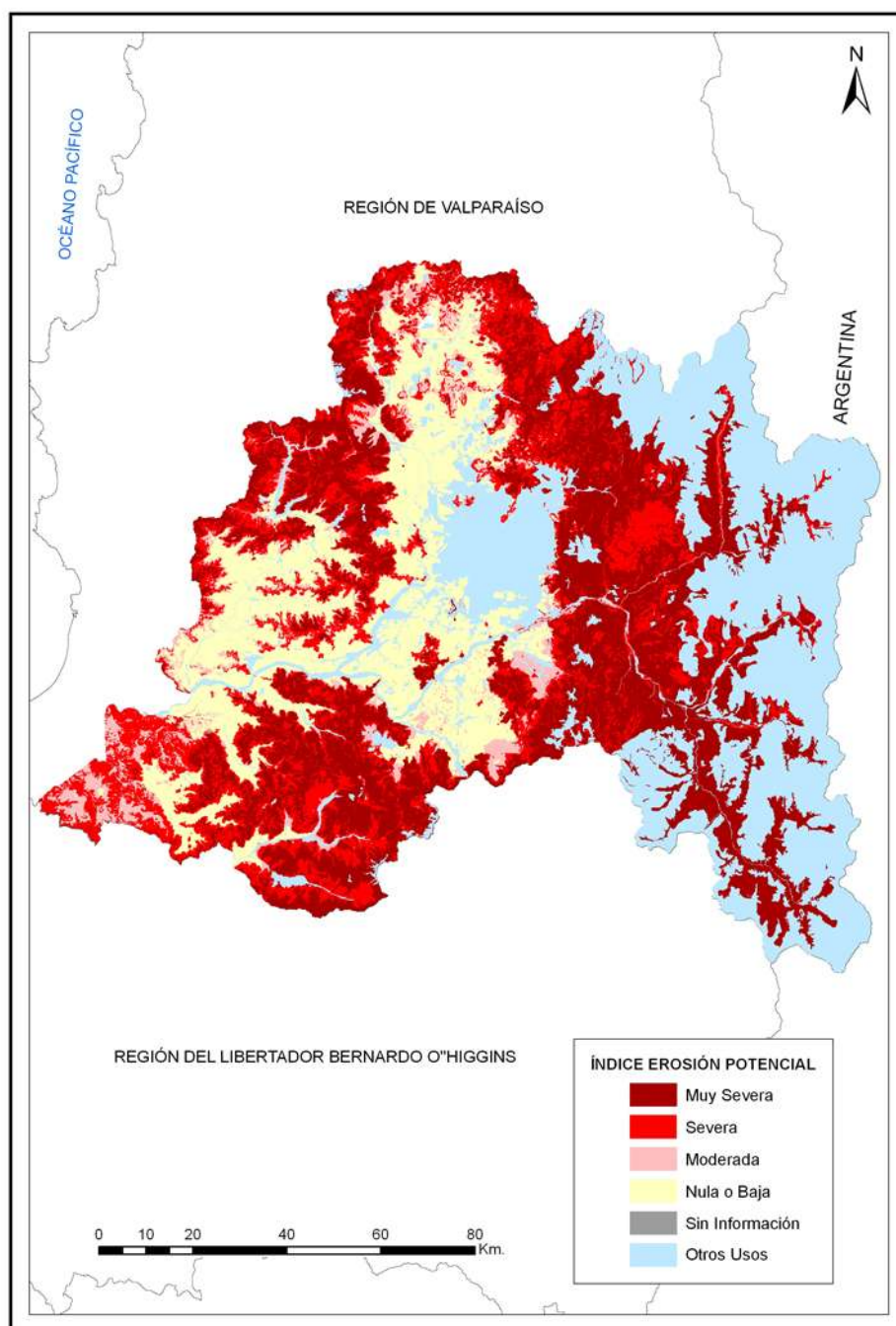


Figura 24. Riesgo de erosión potencial para la Región Metropolitana.



### Índice de desprotección vegetal.

Este indicador corresponde al grado de descubertura que otorgan al suelo las clases de cobertura vegetal y uso del suelo, así como la facilidad que entregan al desplazamiento del escurrimiento superficial (figura 25). Este índice se obtuvo a partir de la actualización del catastro de vegetación nativa de CONAF, mediante técnicas de segmentación de clases y procesamiento digital de imágenes satelitales Landsat 5 TM con resolución de pixel de 30 metros.

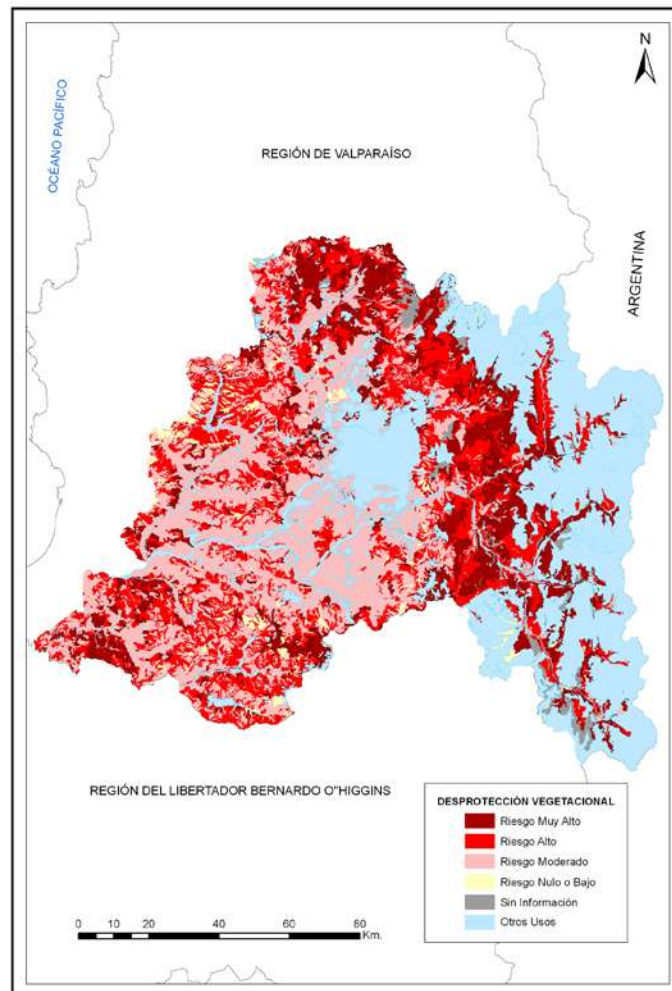
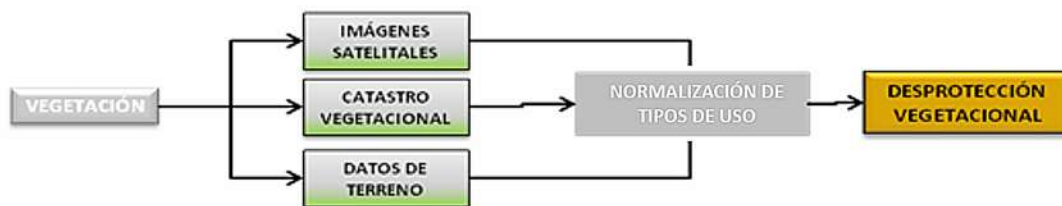


Figura 25. Índice de desprotección vegetal.

**Cuadro 5.** Clasificación de riesgo de erosión según tipología de uso del suelo.

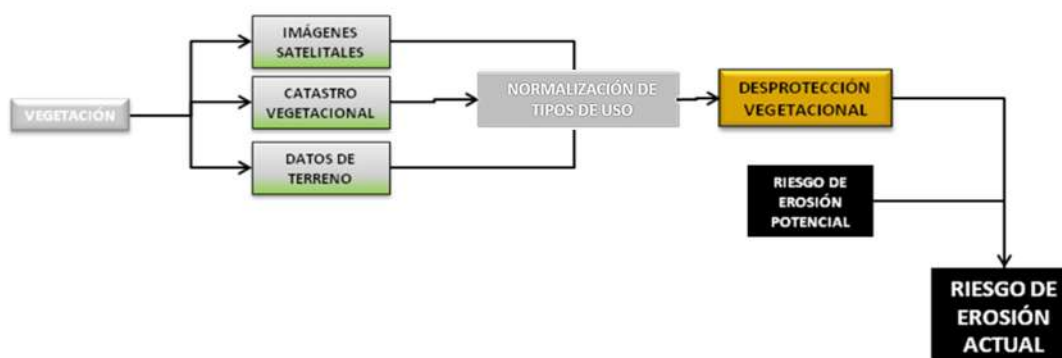
CATEGORÍA	CLASE DE RIESGO	CATEGORÍA	CLASE DE RIESGO
Áreas sobre límite vegetacional	0	Matorral abierto	3
Bosque nativo-exóticas asilvestrado muy abierto	3	Matorral arborescente abierto	3
Bofedales	1	Matorral arborescente denso	1
Bosque exóticas asilvestradas abierto	2	Matorral arborescente muy abierto	3
Bosque exóticas asilvestradas denso	2	Matorral arborescente semidenso	2
Bosque exóticas asilvestradas semidenso	2	Matorral con suculentas abierto	3
Bosque nativo achaparrado abierto	3	Matorral con suculentas denso	2
Bosque nativo achaparrado denso	1	Matorral con suculentas muy abierto	4
Bosque nativo achaparrado muy abierto	3	Matorral con suculentas semidenso	3
Bosque nativo achaparrado semidenso	2	Matorral denso	2
Bosque nativo adulto abierto	2	Matorral muy abierto	4
Bosque nativo adulto denso	1	Matorral pradera abierto	3
Bosque nativo adulto muy abierto	3	Matorral pradera denso	2
Bosque nativo adulto renoval abierto	3	Matorral pradera muy abierto	4
Bosque nativo adulto renoval denso	1	Matorral pradera semidenso	2
Bosque nativo adulto renoval muy abierto	3	Matorral semidenso	2
Bosque nativo adulto renoval semidenso	2	Matorral-estepa patagónica	3
Bosque nativo adulto semidenso	1	Murtilla	3
Bosque nativo renoval abierto	3	Murtilla coirón	3
Bosque nativo renoval denso	1	Murtilla mata	3
Bosque nativo renoval muy abierto	3	Ñadis herbáceos arbustivos	1
Bosque nativo renoval semidenso	2	Otros terrenos húmedos	1
Bosque nativo-plantación abierto	3	Otros terrenos sin vegetación	4
Bosque nativo-plantación denso	1	Otros usos	0
Bosque nativo-plantación muy abierto	3	Plantación	2
Bosque nativo-plantación semidenso	2	Plantación (incendio forestal)	4
Coirón mata	3	Plantación de arbustos	3
Coirón murtilla	3	Plantación joven o recién cosechada	3
Coironal	4	Playas y dunas	0
Derrumbes sin vegetación	4	Pradera perenne	1
Estepa altiplánica	4	Praderas anuales	2
Estepa andina central	4	Ríos y cuerpos de agua	0
Estepa andina norte	4	Rocas y afloramientos rocosos	0
Estepa patagónica	3	Rotación cultivo-pradera	2
Mallín	1	Suculentas	3
Marismas herbáceas	1	Suelos desnudos	4
Mata	3	Terrenos de uso agrícola	2
Mata coirón	3	Turbales	1
Mata murtilla	3	Vegas	1
Mata pradera	3	Vegetación herbácea en orilla	3
Matorral	3		

Los criterios considerados en la generación del índice de desprotección fueron la cobertura vegetal (%), el uso de la tierra, la estructura vertical y horizontal de las formaciones vegetacionales, la composición de especies de la formación y la edad modal de las especies. Estos factores se relacionan con la protección contra el efecto de la gota de lluvia sobre el suelo, la infiltración y la facilidad u obstrucción que entregan al desplazamiento del escurrimiento superficial (cuadro 5).



### Índice de riesgo de erosión actual

Refleja la potencialidad que tiene el suelo a ser erosionado si se mantienen las condiciones actuales de vegetación (figura 26).



A continuación se detalla los resultados a nivel comunal (cuadro 6) y a nivel regional (figura 26 y 27).

**Cuadro 6.** Estadística del índice de riesgo de erosión actual (por provincias).

Región/Provincia/Comuna	BAJO O NULA	MODERADA	SEVERA	MUY SEVERA	OTRAS CATEGORIAS	Total general
REGIÓN METROPOLITANA	290,594	377,838	277,971	124,334	470,206	1,540,942
CHACABUCO	59,384	62,086	52,520	14,792	18,854	207,637
CORDILLERA	18,598	55,475	79,891	79,924	318,581	552,468
MAIPO	45,118	35,317	13,342	3,779	14,509	112,065
MELIPILLA	114,880	182,850	84,268	8,832	16,794	407,623
SANTIAGO	21,131	29,741	43,546	16,897	91,678	202,993
TALAGANTE	31,483	12,369	4,404	110	9,790	58,157

## CARTOGRAFÍA DE RIESGO DE EROSION ACTUAL REGIÓN METROPOLITANA

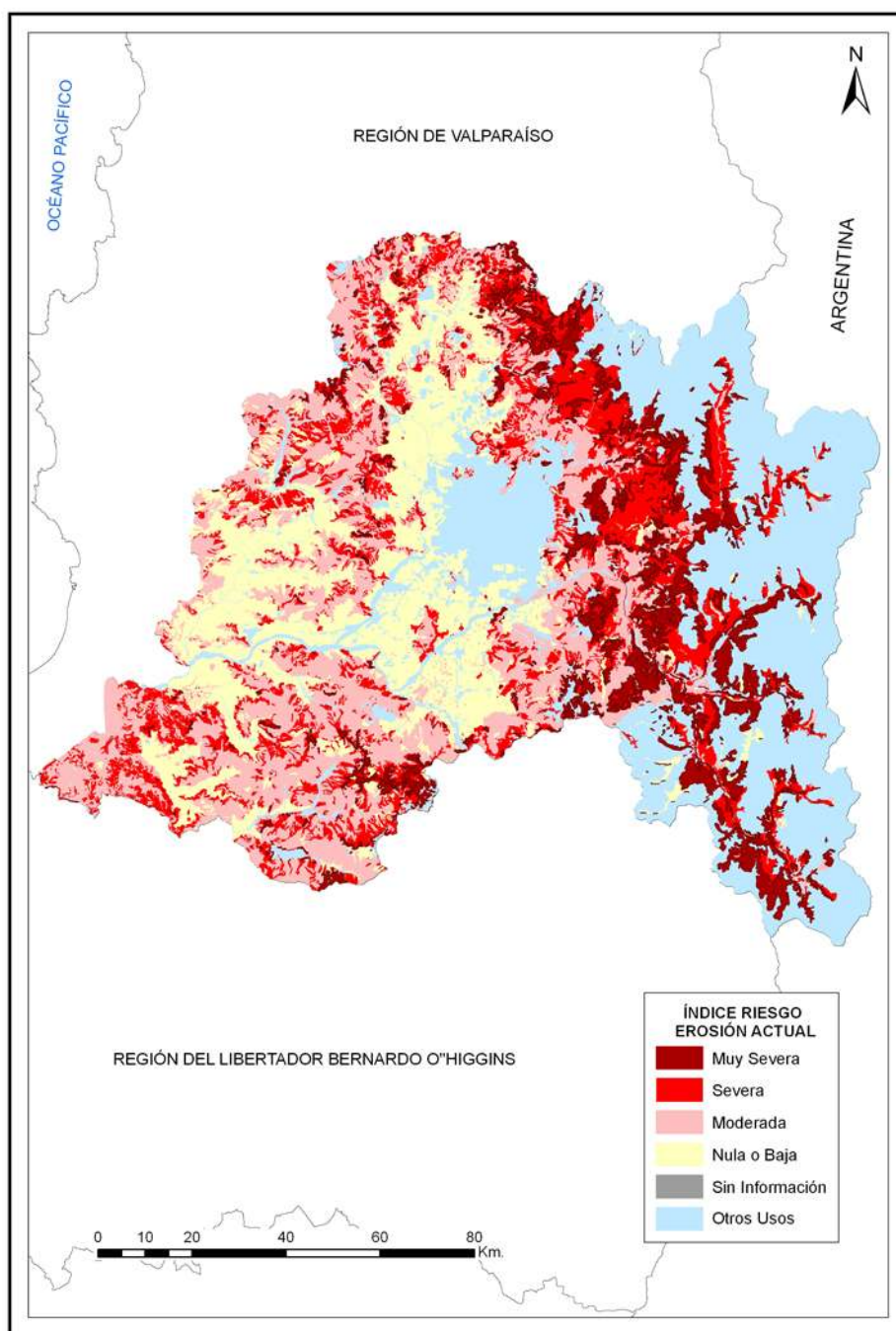
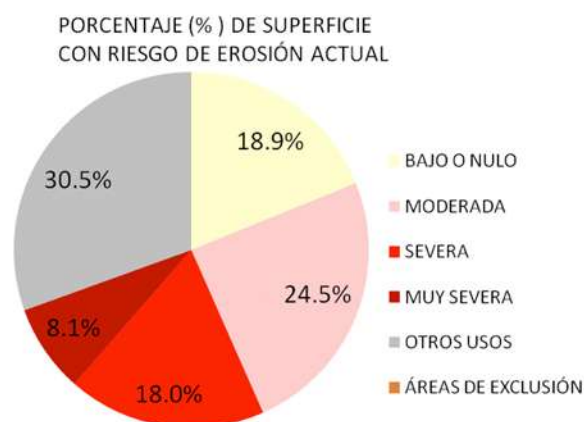


Figura 26. Riesgo de erosión actual para la Región Metropolitana.



### METROPOLITANA DE SANTIAGO



**Figura 27.** Porcentaje (%) superficie con riesgo de erosión actual, a nivel regional.

El riesgo de erosión actual está clasificado entre las categorías moderadas y severas, que representan el 32,5% de la superficie regional. El riesgo de erosión potencial que predomina es la categoría muy severa, y que está altamente influenciado por la agresividad climática y tipología de suelos y la topografía de la zona. Las comunas con mayor riesgo de erosión actual y potencial severo y muy severo son Lo Barnechea y Alhué.

A nivel nacional, los resultados del modelo IREPOT, estima una superficie con un riesgo de erosión potencial de suelos entre moderada y muy severa de 34,1 millones de hectáreas, que corresponde al 62,7% de los suelos de Chile. Mientras que, en el actual escenario de uso del suelo, la superficie con riesgo de erosión (en esas categorías) alcanza los 27,1 millones de hectáreas. El mayor índice de riesgo de erosión potencial severo y muy severo se encuentra en las regiones de Valparaíso (75,8%), Aysén (73,9%) y Coquimbo (72,1%), respecto de la superficie de suelos de cada región. La Región de Aysén (4,97 millones de hectáreas) posee la mayor superficie de riesgo de erosión potencial, debido principalmente, a la acción humana y los indicadores de agresividad climática, y la geomorfología de cuencas. Los resultados de riesgo de erosión actual severo y muy severo, indican que las regiones con mayores índices son Coquimbo (65,3%), Valparaíso (38,1%) y O'Higgins (37,6%), respecto de la superficie de suelos de cada región. La Región de Coquimbo tiene la mayor superficie de riesgo de erosión (2,4 millones de hectáreas), en estas categorías.

## CONCLUSIONES

En esta región, el porcentaje de erosión severa y muy severa es de un 26,0%. Mientras en la zona norte del país predomina la erosión natural, a partir de la V Región lo hace la erosión antrópica o acelerada. El agente más significativo es el hídrico, y en menor medida el factor eólico presente hacia el sector costero. En la precordillera andina se manifiesta la erosión hídrica con una fuerte influencia de las precipitaciones estacionales de alta intensidad (agresividad climática alta y muy alta), mientras que en la cordillera andina hay un efecto combinado de erosión hídrica y geológica. La superficie de suelos erosionados de la Región Metropolitana es de 683.047 hectáreas, lo que representa un 44,3% de la superficie regional. Su distribución porcentual por categoría está representada como: 6,1 ligera; 12,3% moderada; 13,9% severa; 12,1% muy severa. Las comunas más afectadas son Alhué (70,1%), Colina (66,5%) y Lo Barnechea (66,3%). Paralelamente, las dos últimas comunas mencionadas, junto a Lo Barnechea presentan la mayor cantidad de superficie categorizada bajo las categorías de erosión “severa” y “muy severa”. Solamente estas comunas suman en conjunto – bajo las categorías de erosión antes mencionadas – una superficie superior a las 250.000 hectáreas, lo que representa el 13% de la superficie total regional.

El paisaje vegetacional se evidencia altamente alterado y se caracteriza por un matorral esclerófilo y estepa arbustiva, por cuanto el riesgo de erosión actual está clasificado entre las categorías moderadas y severas, que representan el 32,5% de la superficie regional. Sin embargo, las pérdidas (máximas o potenciales), arrastre o transporte de partículas del suelo que tendrían lugar en caso de no existir vegetación alcanzarían categorías de severa y muy severa (48,3% de la superficie de la región). Las comunas con mayor riesgo de erosión actual y potencial severo y muy severo son Lo Barnechea y Alhué.

Los resultados de ambos modelos de erosión actual y potencial fueron validados en dos campañas de terreno, con el apoyo de los profesionales del Ministerio de Agricultura de Chile. No obstante, el uso de información de línea base generalizada de suelos, vegetación y clima, particularmente, en los sectores pre y cordilleranos pueden reducir la precisión de la clasificación de erosión y los niveles de riesgo.

A nivel nacional, las categorías de erosión expresadas en términos de superficie absoluta, indudablemente varían su significancia o proporción relativa de acuerdo al tamaño de cada región. En términos generales (exceptuando las regiones XI y XII), se puede observar que la mayor cantidad de suelos erosionados aumentan de sur a norte. Las regiones más afectadas son Coquimbo, Valparaíso y O`Higgins. Además, destaca el aumento hacia el sur de suelos con erosión no aparente, es decir, suelos con cobertura vegetacional mayor a 75% y que dada la metodología utilizada no fue posible asignar a un grado de severidad en particular.

En este marco, el presente estudio juega un rol importante en la región, ya que el agricultor necesita información real para tomar decisiones que le permitan proteger su suelo y así asegurar la actividad agrícola. La principal proyección de esta cartografía temática, es que sea utilizada para la asignación de recursos financieros, administrativos y humanos de los programas de fomento de recuperación de suelos degradados. Asimismo, esta cartografía permite obtener otros análisis multicriterios sectoriales, por ejemplo, erosión-índice de desarrollo



humano, erosión-biodiversidad, erosión-productividad agrícola, entre otros. Finalmente, se esperaría en el futuro, una sincronización y concordancia con el programa satelital Chileno SSOT (Sistema Satelital de Observación Terrestre), que permita actualizar dicha información a un menor costo, mayor precisión y continua en el tiempo.

### Agradecimientos

Agradecer a todas las personas que facilitaron y trabajaron en el desarrollo de este estudio, en especial, a los profesionales del MINAGRI de cada región del país. Al equipo de profesionales temáticos y cartógrafos de CIREN que aportaron su experiencia y detalle al trabajo presentado. A los Coordinadores Nacionales de CONAF, SAG, ODEPA e INDAP.

## REFERENCIAS

Araneda, A., M. Cisternas, y R. Urrutia. 1999. USLE y análisis isotópicos en la reconstrucción de la historia erosional en una cuenca lacustre. *Bosque (Valdivia)*, vol.20, no.2, p.95-105. ISSN 0717-9200.

BCN. 2010. Biblioteca del Congreso Nacional: Sistema integrado de información Territorial (SIIT); Región Metropolitana. Disponible en:  
<http://www.bcn.cl/siit/regiones/region13/region.htm>. Consultado el 23.11.2010.

Bonilla C., J. Reyes, y A. Magri. 2009. Water erosion prediction using the Revised Universal Soil Loss Equation (RUSLE) in a GIS framework, Central Chile. *Chilean Journal of Agricultural Research*, 70, 1, 159-169

Castro, C., y C. Aliaga. 2010. Evaluación de la pérdida de suelo, asociada al proceso de expansión urbana y reconversión productiva: Caso: comunas de Los Andes, Quillota y Concón, valle del Aconcagua. *Rev. geogr. Norte Gd.*, n.45, pp. 41-49.

CIREN-CORFO. 1996. Estudio Agrológico. Región Metropolitana. Descripciones de suelos. Materiales y Símbolos. 414 pp.

CIREN. 2004. Zonificación de erosión y fragilidad de suelos del secano costero de las regiones VI y VII. Proyecto INNOVA-CORFO. Centro de Información de Recursos Naturales

CIREN. 2009. Determinación de erosión actual y fragilidad de suelos en la V Región utilizando datos satelitales Y SIG. Proyecto INNOVA-CORFO. Código: 05CR11IXM-21. Centro de Información de Recursos Naturales

CONAF, 2003. Actualización Catastro de Uso del Suelo y Vegetación, Región de Metropolitana. Disponible en:  
[http://www.conaf.cl/cms/editorweb/catastro/actualizacion\\_Santiago.pdf](http://www.conaf.cl/cms/editorweb/catastro/actualizacion_Santiago.pdf). Consultado el 23.11.2010

Datta, P., y H. Schack-Kirchner. 2010. Erosion Relevant Topographical Parameters Derived from Different DEMs—A Comparative Study from the Indian Lesser Himalayas. *Remote Sens.* 2, 1941-1961.

Honorato, R., L. Barrales., I. Peña y F. Barrera. 2001. Evaluación del modelo USLE en la estimación de la erosión hídrica en seis localidades entre la IV y IX región de Chile. *Cien. Inv. Agr.* 28(1): 7-14.

INE. 2010. *Instituto Nacional de Estadística: Compendio estadístico regional; Región Metropolitana. Disponible en: [http://www.ine.cl/canales/chile\\_estadistico/territorio/division\\_politico\\_administrativa/pdf/DPA\\_COMPLETA.pdf](http://www.ine.cl/canales/chile_estadistico/territorio/division_politico_administrativa/pdf/DPA_COMPLETA.pdf). Consultado el 23.11.2010.*

INFORME PAIS. 2008. *Estado del medio ambiente en Chile. Capítulo 5, Suelos. Universidad de Chile. Instituto de Asuntos Públicos. Santiago, Chile. 236 – 293 p.*

IREN. 1979. *Fragilidad de los ecosistemas naturales de Chile. Informe 40. Instituto Nacional de Recursos Naturales-CORFO, s.p.*

Märker, M., S. Moretti, y G. Rodolfi. 2001. Assessment of water erosion processes and dynamics in semi-arid regions of southern Africa (kwazulu/Natal, RSA, and Swaziland) using the Erosion Response Units concept (ERU). *Revista Geogr. Fis. Dinam. Quat.*, vol. 24, issue 1, p. 71-84.

Merrit, W., R. Letcher y A. Akeman. 2003. A review of erosion and sediment transport models. *Environmental Modelling & Software*, 18: 761-799.

Peña, L. 1983. Determinación de los factores R, K y C de la Ecuación Universal de Estimación de la Erosión para la Precordillera de la VII Región. *Agric. Téc. (Chile)* 43:151-158.

Peña, L. 1985. Erosión hídrica en trumaos de lomajes. p. 528-547. *In Tosso, J. (ed.) Suelos volcánicos de Chile. Ministerio de Agricultura, Instituto de Investigaciones Agropecuarias INIA, Santiago, Chile,*

Pérez, C, y J. González. 2001. Diagnóstico sobre el estado de degradación del recurso suelo en el país. Instituto de Investigaciones Agropecuarias, CRI Quilamapu, Chillan. 196 p.

Pizarro, R., J. Flores., C. Sangüesa., E. Martínez, y L. León. 2008. Diseño hidrológico de zanjas de infiltración en el secano costero e interior de las regiones semiáridas de Chile. *Bosque (Valdivia)*, vol.29, n.2, pp. 136-145

Saavedra, C., y C. Mannaerts. 2005. Estimating spatial patterns of soil erosion and deposition in the Andean region using geo-information techniques. Wageningen University, The Netherlands.

Soto G. 1997. Mapa preliminar de la desertificación en Chile – por comunas. Santiago, Chile. Corporación Nacional Forestal CONAF, Ministerio de Agricultura. 88 p.

USDA. 1951. Soil survey manual. 503 p. Soil Conservation Service, Soil Survey Staff, U.S. Dept. of Agric. Handbook. 18. U.S. Govt. Print. Off. Washington, D.C., USA.

Yoma, R. 2003. Evaluación física de la erosión en plantaciones de *Pinus radiata* D. Don en la Reserva Nacional Lago Peñuelas, V región. Período 1998-2001. Tesis de grado. Facultad de Ciencias Silvoagropecuarias. Universidad Mayor. Santiago. Chile. 110 p.



---

Determinación de la erosión actual  
y potencial de los suelos de Chile  
**Síntesis de Resultados - Diciembre 2010**  
**Región de Metropolitana**

---

**CIREN**

Centro de Información de Recursos Naturales

Manuel Montt 1164, Providencia.

Fono (56-2) 200 89 00

[www.ciren.cl](http://www.ciren.cl)

Santiago de Chile - 2010